

Циклы в графах и в гиперграфах: в направлении теории гомологий

А. Мирошников, О. Никитенко, А. Скопенков *

Содержание

Предисловие: неформальное описание темы и основных результатов	1
О стиле этого текста	2
1 Одномерные циклы	3
1.1 Основные обозначения и определения	3
1.2 Как появляются одномерные циклы	4
1.3 Одномерные циклы в графах	5
1.4 Соотношения между одномерными циклами	9
1.5 Симметричные одномерные циклы	10
1.6 Геометрическое отступление: декартово произведение графов *	12
1.7 Одномерные циклы в произведении графов	14
1.8 Симметричные одномерные циклы в квадрате графа *	17
1.9 Одномерные циклы во взрезанном квадрате графа *	19
2 Двумерные циклы	21
2.1 Двумерные циклы в гиперграфах *	21
2.2 Соотношения между циклами в гиперграфах *	23
2.3 Двумерные циклы в произведении графов	25
2.4 Двумерные циклы во взрезанном квадрате графа	27
2.5 Симметричные двумерные циклы в квадрате графа *	30

Предисловие: неформальное описание темы и основных результатов

Этот обзор демонстрирует важные идеи *теории гомологий* (раздела *алгебраической топологии*) на простом языке теории графов. Он доступен математикам и программистам, не знакомым с топологией. Изучение большей части обзора не требует предварительных знаний (за пределами школьной программы), но требует некоторой математической культуры. Его разумно изучать *перед* чтением учебников по теории гомологий. Кому-то из читателей эти учебники и не понадобятся, будет

* А. Мирошников, А. Скопенков: Московский физико-технический институт.
 О. Никитенко: Алтайский технический университет.
 А. Скопенков: Независимый московский университет, <https://users.mccme.ru/skopenko/>.
 При написании этого текста использованы материалы [ADN+] Летней Конференции Турнира Городов и курсов МФТИ. Мы благодарны Э. Алкину и А. Воропаеву за совместную работу над теми материалами, А. Воропаеву за редактирование решений к §2 той версии, С. Дженжеру за совместную работу над предыдущими версиями этого текста, И. Богданову, Р. Карасеву, Д. Мусатову, А. Рябичеву и О. Стырту за полезные обсуждения, а также А. Рябичеву за подготовку некоторых рисунков.

достаточно изложенных здесь идей. А для тех, кто уже изучал теорию гомологий по учебникам, рассмотрение и применение ее частных случаев обычно оказывается интересным и нетривиальным.

Несмотря на элементарность, обзор подводит читателя к переднему краю науки, см. статьи [Va92, FH10, MS17, SS23, Bo] и ссылки в них.

Сначала мы введем и обсудим основное понятие, естественно возникающее в теории графов, а потом опишем основные результаты.

Назовем **1-циклом** в графе множество C ребер такое, что каждая вершина принадлежит четному числу ребер из C . (Более точное название: одномерный симплициальный цикл по модулю 2.) Сравните со следующей теоремой Эйлера: *в связном графе существует цикл, проходящий по каждому ребру ровно один раз, тогда и только тогда, когда каждая вершина этого графа принадлежит четному числу ребер*. См. также §1.2. Версией целочисленного обобщения этого понятия является допустимый поток (feasible flow) [F1].

Рассмотрим примеры. Множество ребер цикла в графе, не проходящего ни по одному ребру дважды, является 1-циклом, но не наоборот. Пустое подмножество ребер также является 1-циклом. В графе-цикле два 1-цикла, в графе «восьмерка» — четыре, а в полном графе на 4 вершинах — восемь (последнее не так очевидно).

Понятие 1-цикла и его обобщения имеют многочисленные приложения. Однако привести здесь даже простейшие из них не представляется целесообразным. Это связано с тем, что приложения более сложны, чем само понятие 1-цикла. Ведь 1-циклы возникают как средство изучения более сложных объектов («препятствий», представляемых «коциклами», ср. [Sk, §9]). О наиболее простых приложениях см., например, [Sk20, §§4.11, 6, 9], [Sk, §§1, 8, 9, 10]. По этим книгам читатель сможет познакомиться не только с приложениями, но и с основами теории гомологий, обобщающей идеи, приведенные здесь и при обсуждении приложений.

Этот текст начинается со следующих базовых утверждений. Для данного графа мы найдем

- количество всех 1-циклов в нем (утверждение 1.3.5.a, к нему подводит утверждение 1.3.2.a);
- «небольшое» количество 1-циклов в нем таких, что любой 1-цикл является *суммой* нескольких из них (утверждения 1.3.2.cde, 1.3.9.c и леммы 1.3.7, 1.3.10);
- соотношения между «простейшими» 1-циклами (утверждения 1.4.1.b и 1.4.2.b).

Основные результаты, излагаемые в этом тексте — описание (и вычисление количества)

- симметричных 1-циклов в графах с симметрией (утверждения 1.5.3 и 1.8.3);
- 1-циклов *по модулю границ* и 2-циклов в *квадрате графа* (теоремы 1.7.7 и 2.3.7 — это частные случаи знаменитой формулы Кюннета о «гомологиях произведения» [Sk20, 11.8.3], [FF89, §15.6]);
- порождающих в множестве 2-циклов во *взрезанном квадрате графа* (теорема 2.5.8).

Все выделенные выше курсивом понятия определены в тексте. Последний из этих результатов связан с парадоксальным примером: различные поверхности допускают «одинаковую» склейку из одинакового числа квадратиков (замечание 2.4.6.ab).

Имеются красивые задачи для исследования (1.9.3, 1.9.4.bc, 1.9.5 и 2.5.9.bcd), решение которых нам неизвестно; некоторые из них могут оказаться несложными.

О стиле этого текста

Основные идеи представлены на «олимпиадных» примерах: на простейших частных случаях, свободных от технических деталей, и со сведением к необходимому минимуму научного языка. За счет этого и текст становится доступным для начинающих, и удается быстро добраться до интересных сложных и важных результатов, методов и теоретических идей. Таким образом, многие из приведенных идей работают для более общих случаев. Мы не тратим время читателя на несложные обобщения. Их легко придумать или найти в литературе. Трудно применить общую теорию для

ярких результатов, сформулированных вне этой теории, когда неизвестно заранее, какую теорию нужно применять (и вообще, можно ли хоть какую-то теорию применить).

‘Listeners are prepared to accept unstated (but hinted) generalizations much more than they are able, on the spur of the moment, to decode a precisely stated abstraction and to re-invent the special cases that motivated it in the first place.’ [Ha74]

‘The preceding theorem generalizes to many situations. In fact, there may not actually be an optimal generalization in the sense that no matter what generalization is given, someone could produce a more general one. One of the advantages of being an understander rather than a theorem quoter is that one may be able to obtain approaches to a wide variety of theorems some of which may not even have been formulated yet.’ [Bi83]

Более простой материал приводится, чтобы сделать естественным и доступным более сложный. Попытка начинать с более простого (например, с частных случаев) повышает самостоятельность — а, значит, глубину и надежность — освоения материала. Проще самому доказать частный случай, самому продумать переход от частного к общему, чем самому сразу доказать общий случай. Самостоятельно придуманное надежнее запоминается и легче модифицируется. Кроме того, обычно на частном случае проще отловить и исправить ошибки. Подробнее см. [ZSS, §11.2].

Как правило, мы приводим *формулировку* красивого или важного утверждения *перед* последовательностью определений и результатов, составляющих его *доказательство*. В таких случаях для доказательства утверждения требуется часть дальнейшего материала. Об этом указано после формулировки утверждения. Некоторые результаты приведены без доказательств, тогда даются ссылки вместо указаний. Если к утверждению (или задаче) не приведено ни доказательство, ни ссылка на него, то оно несложно. Основные результаты называются «теоремами», менее важные результаты — «утверждениями», важные вспомогательные результаты — «леммами».

В тексте есть небольшое количество задач (полезно рассматривать и утверждения как задачи). Изучение путем решения задач характерно для серьезного обучения математике, см. [HC19, §1.1], [ZSS, §1.2] и данные там ссылки. Оно продолжает древнюю культурную традицию. Если условие задачи является формулировкой утверждения, то в задаче требуется это утверждение доказать (и тогда в ссылках мы называем это утверждение утверждением, а не задачей). Краткие указания к задачам приводятся сразу, более длинные в конце параграфа. *Загадкой* называется не сформулированный четко вопрос; здесь нужно придумать и четкую формулировку, и доказательство.

Определения важных понятий даны **жирным шрифтом**, чтобы их было проще найти.

Разделы и задачи, отмеченные звездочкой, не используются в дальнейшем.

1 Одномерные циклы

1.1 Основные обозначения и определения

В большей части параграфа 1 можно работать с графами на интуитивном уровне. Строго говоря, **графом** называется пара (V, E) из конечного множества V и семейства E , состоящего из нескольких двухэлементных подмножеств множества V . **Ребром** называется элемент семейства E .

В этом тексте K — граф. Часто мы обозначаем ребро $\{a, b\}$ коротко через ab , а семейство ребер графа — так же, как сам граф. Обозначим через

- $[n]$ множество $\{1, 2, \dots, n\}$;
- K_n полный граф на множестве $[n]$ вершин;
- $K_{m,n}$ полный двудольный граф с долями $[m]$ и $[n]'$ (мы обозначаем через A' копию множества A).

Напомним, что *простым циклом* $v_1v_2 \dots v_k$ в графе называется набор $\{v_1v_2, v_2v_3, \dots, v_kv_1\}$ ребер, для которого вершины v_1, \dots, v_k попарно различны.

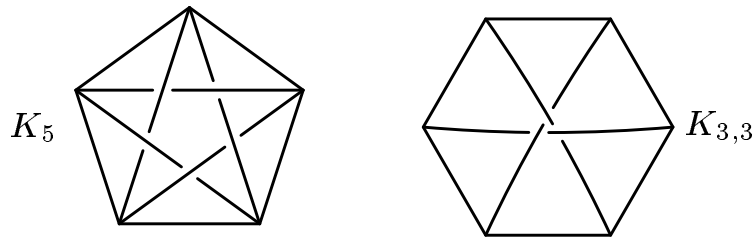


Рис. 1: Непланарные графы K_5 и $K_{3,3}$

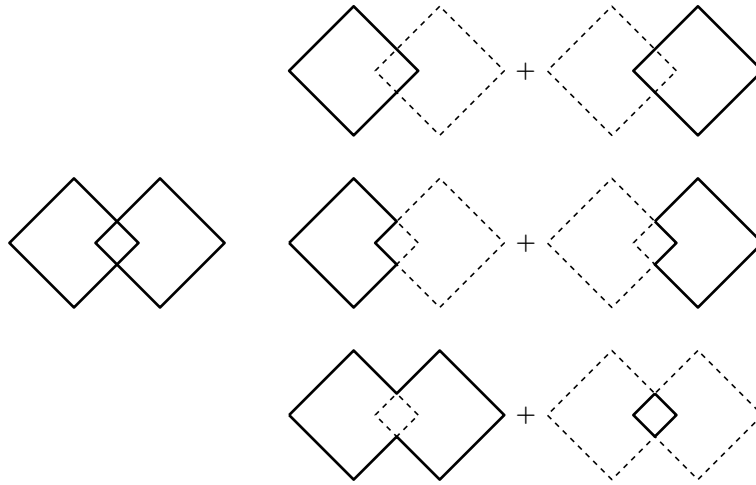


Рис. 2: Слева: 1-цикл. Справа: его представления в виде суммы простых циклов

Суммой (суммой по модулю 2, или симметрической разностью, рис. 2 и 3) множеств A и B называется

$$A + B := (A \cup B) \setminus (A \cap B).$$

Пустой 1-цикл мы обозначаем нулем.

Обозначим через $H_1(K)$ множество всех 1-циклов в графе K , с операцией сложения.

Мы иногда сокращаем $f(x)$ до fx для образа элемента x при отображении f .

1.2 Как появляются одномерные циклы

Задача 1.2.1. На плоскости нарисован без самопересечений граф (не обязательно связный), из каждой вершины которого выходит четное число ребер. Тогда грани можно раскрасить в два цвета *правильно*, т. е. так, что при переходе через каждое ребро цвет грани меняется.

Это означает, что если плоский граф является 1-циклом, то он равен сумме границ всех его граней одного цвета.

Задача 1.2.2 (Т. Голенищева-Кутузова, В. Клепцын и И. Яценко). В некоторых клетках квадрата 20×20 стоит стрелочка в одном из четырех направлений. На границе квадрата все стрелочки смотрят вдоль границы по часовой стрелке. Кроме того, стрелочки в соседних (возможно, по диагонали) клетках не смотрят в противоположных направлениях. Докажите, что найдется клетка, в которой стрелочки нет.

Доказательство (Э. Алкин). Назовем узел сетки *внутренним*, если он содержится в 4-х клетках, и *граничным* — если содержится не более чем в 2-х клетках.

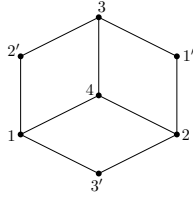


Рис. 3: Цикл длины 6 является суммой трех циклов длины 4

Пусть стрелочки стоят во всех клетках. Для каждой пары соседних (по общей стороне) клеток, в одной из которых стоит стрелка вверх, а другой — стрелка вправо, раскрасим их общую сторону в красный цвет. В следующем абзаце докажем, что из каждого внутреннего узла выходит четное число красных ребер.

Рассмотрим произвольный внутренний узел и смежные с ним четыре клетки. Можно считать, что из этого узла выходит хотя бы одно красное ребро. Значит, в четырех смежных с узлом клетках стоят только стрелки вверх и стрелки вправо. Начав в любой клетке, совершим обход этих четырех клеток, каждый раз переходя в смежную по ребру клетку. Во время обхода мы пересечем красные ребра столько раз, сколько было изменений ориентаций стрелок. Поскольку после обхода мы вернулись в стартовую клетку, таких смен ориентаций было четное число.

Итак, из каждого внутреннего узла выходит четное число красных ребер. Из условия следует, что из одного граничного узла выходит одно красное ребро, а из остальных граничных узлов — нисколько. Значит, сумма степеней всех вершин красного графа нечетна. Противоречие. \square

Замечание. Это доказательство чуть более простое, чем доказательства, опубликованные в брошюре ММО-2010 (задача 6 для 8 класса). В нем естественно появляется понятие 1-цикла (по модулю 2 и по модулю границы квадрата). Для знакомых с основами топологии добавим, что это доказательство

- похоже на доказательство леммы Шпернера [Sh89] и на кусочно линейную версию, предположительно известную до 1963 года, доказательства Хирша 1963 года неретрагируемости диска на его границу [Sk20, п. 3.11 электронной версии];
- иллюстрирует превосходство гомологических методов над гомотопическими (незначительное в таком простом примере, но значительное в более сложных задачах).

1.3 Одномерные циклы в графах

Утверждение 1.3.1. Сумма 1-циклов является 1-циклом.

Доказательство. Возьмем 1-циклы C_1 и C_2 . Назовем степенью $d_C(v)$ вершины v в наборе C ребер количество ребер этого набора, которым принадлежит вершина v . Тогда $d_{C_1+C_2}(v) = d_{C_1}(v) + d_{C_2}(v) - 2d_{C_1 \cap C_2}(v)$ четно. Поэтому $C_1 + C_2$ является 1-циклом. \square

- Задача 1.3.2.** (а) Количество 1-циклов в K_n равно $2^{\binom{n-1}{2}}$.
- (б) Если все ребра 1-цикла в K_n имеют общую вершину, то этот 1-цикл пустой.
- (в) Любой 1-цикл в K_n является суммой нескольких циклов длины 3.
- (д) Любой 1-цикл в K_n является суммой нескольких из следующих циклов: цикл 123 и циклы длины 4.
- (е) Цикл 123 не является суммой никаких циклов длины 4 в K_n .
- П. (б) доказывается напрямую.

Доказательство пп. (c,d). (c) Покажем, что произвольный 1-цикл C в K_n равен сумме

$$\widehat{C} := \sum_{\substack{ijn \in C \\ i,j < n}} ijn$$

циклов ijn по всем ребрам $ij \in C$, не содержащим вершину n . Каждое ребро в $C + \widehat{C}$ содержит вершину n . Из этого и п. (b) следует, что $C + \widehat{C} = \emptyset$, т. е. $C = \widehat{C}$.

(П. (c) также следует из утверждения 1.3.4.)

(d) Из п. (c) следует, что достаточно доказать п. (d) для циклов длины 3. Назовем цикл длины 3 *представимым*, если его сумма с циклом 123 представима в виде суммы циклов длины 4. Цикл 123 представим. Сумма двух циклов длины 3, имеющих общее ребро, является циклом длины 4. Поэтому если цикл α длины 3 представим, то представим и любой цикл длины 3, имеющий с α общее ребро. Следовательно, все циклы длины 3 представимы. \square

Набросок доказательства п. (e). Для конечного множества X обозначим через $|X|_2 \in \mathbb{Z}_2$ четность количества элементов в множестве X . Тогда для любых 1-циклов C, C' выполнено $|C + C'|_2 = |C|_2 + |C'|_2$. \square

Доказательство утверждения 1.3.2.a. Достаточно доказать, что существует взаимно однозначное соответствие между $H_1(K_n)$ и множеством $2^{K_{n-1}}$ подмножеств ребер из K_{n-1} .

Определим отображения

$$\begin{aligned} \varphi: H_1(K_n) &\rightarrow 2^{K_{n-1}} & \text{формулой} & \varphi C := C \cap K_{n-1}, \\ \widehat{\varphi}: 2^{K_{n-1}} &\rightarrow H_1(K_n) & \text{формулой} & \widehat{\varphi} D := \sum_{ijn \in D} ijn. \end{aligned}$$

Поскольку $\varphi(ijn) = \{ij\}$, то $\varphi \widehat{\varphi} D = D$ для любого $D \subset K_{n-1}$. Обратно, для любого $C \in H_1(K_n)$ имеем $\widehat{\varphi} \varphi C = \widehat{C} = C$, где второе равенство доказано в доказательстве п. (c). Таким образом, φ и $\widehat{\varphi}$ являются взаимно однозначными соответствиями. \square

Утверждение 1.3.3 (рис. 2). *Любой 1-цикл является суммой нескольких простых циклов.*

Это следует из леммы 1.3.7.a.

Набросок прямого доказательства. Достаточно доказать, что любой 1-цикл C является суммой нескольких реберно непересекающихся простых циклов, содержащихся в C . Так как каждая вершина 1-цикла принадлежит четному числу ребер из него, то в C содержится простой цикл. Удаляя из C ребра этого простого цикла, получаем также 1-цикл. Продолжая, получим набор реберно непересекающихся простых циклов, объединение которых равно C . Поэтому их сумма равна C . \square

Простой цикл называется *бесхордовым*, если никакое ребро графа не соединяет две непоследовательные вершины этого цикла.

Утверждение 1.3.4. *Любой 1-цикл является суммой нескольких бесхордовых циклов.*

Это следует из утверждения 1.3.3, поскольку любая «хорда» простого цикла дает его представление в виде суммы двух простых циклов меньшей длины.

Следующее утверждение 1.3.5 (и его доказательство) аналогично утверждению 1.3.2 с заменой полного графа на произвольный граф.

Утверждение 1.3.5. (a) *В связном графе с V вершинами и E ребрами количество 1-циклов равно 2^{E-V+1} .*

(b) *В дереве есть ровно один 1-цикл, и он пустой.*

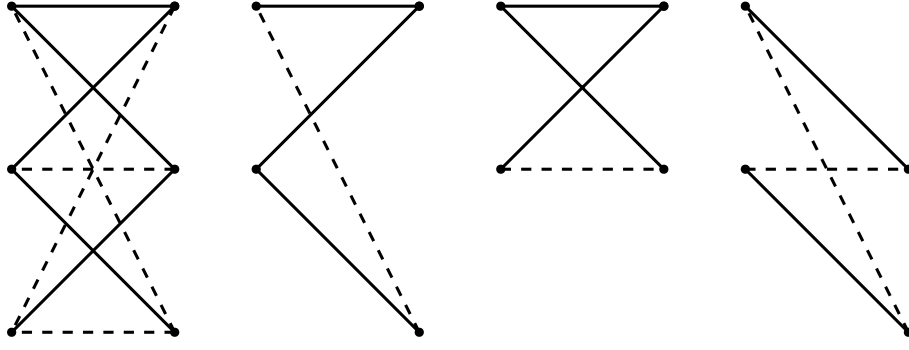


Рис. 4: Слева: $K_{3,3}$, ребра вне остовного дерева выделены пунктиром. Два рис. в центре: $\hat{\sigma}$ и $\hat{\tau}$ для соответствующих пунктирных ребер σ и τ . Справа: $\hat{\sigma} + \hat{\tau}$.

П. (b) доказывается напрямую. П. (a) следует из нижеприведенной леммы 1.3.6, использующей п. (b).

В следующих двух леммах K — связный граф, а T — произвольное остовное дерево в нем. Для ребра $\sigma \in K \setminus T$ обозначим через $\hat{\sigma} = \hat{\sigma}_T$ простой цикл в K , образованный ребром σ и простым путем в T , соединяющим концы ребра σ (рис. 4).

Лемма 1.3.6. *Определим отображения*

$$\begin{aligned} \varphi: H_1(K) &\rightarrow 2^{K \setminus T} & \text{формулой} & \varphi C := C \setminus T, \\ \hat{\varphi}: 2^{K \setminus T} &\rightarrow H_1(K) & \text{формулой} & \hat{\varphi} D := \sum_{\sigma \in D} \hat{\sigma}. \end{aligned}$$

Отображения φ и $\hat{\varphi}$ являются взаимно однозначными соответствиями между $H_1(K)$ и множеством $2^{K \setminus T}$ подмножеств ребер из $K \setminus T$.

Доказательство. Поскольку $\varphi \hat{\sigma} = \{\sigma\}$, то $\varphi \hat{\varphi} D = D$ для любого $D \subset K \setminus T$. Обратно, для любого $C \in H_1(K)$ имеем $\hat{\varphi} \varphi C = C$ по лемме 1.3.7.b (ибо $\hat{\varphi} \varphi C = \hat{C}$). \square

Лемма 1.3.7. (a) *Любой 1-цикл в K является суммой нескольких циклов $\hat{\sigma}$.*

(b) *Для любого 1-цикла C*

$$C = \hat{C} := \sum_{\sigma \in C \setminus T} \hat{\sigma}.$$

(c) *Представление из п. (a) единственно.*

П. (a) следует из п. (b). П. (c) получается рассмотрением ребер вне T .

Доказательство п. (b). Так как C и \hat{C} являются 1-циклами, то $C' := C + \hat{C}$ тоже является 1-циклом. Поскольку $\hat{\sigma} \setminus T = \{\sigma\}$ для любого ребра $\sigma \in K \setminus T$, то $\hat{C} \setminus T = C \setminus T$. Значит, $C' \setminus T = 0$. Поэтому $C' \subset T$. Тогда из утверждения 1.3.5.b следует, что $C' = 0$, т. е. $\hat{C} = C$. \square

Множество $B \subset H_1(K)$ называется **базисом** множества $A \subset H_1(K)$, если каждый 1-цикл из A имеет единственное представление в виде суммы нескольких 1-циклов из B . Например, базисом в $H_1(K)$ является

- для связного графа K и произвольного остовного дерева в нем, множество 1-циклов $\hat{\sigma}$ (ввиду лемм 1.3.7.ас), или,

- для плоского графа K , множество границ всех граней, кроме одной.

См. другой пример в лемме 1.3.10.b. Базис можно определить и для более общих случаев, см. раздел «О стиле этого текста» и замечание 1.3.8.b.

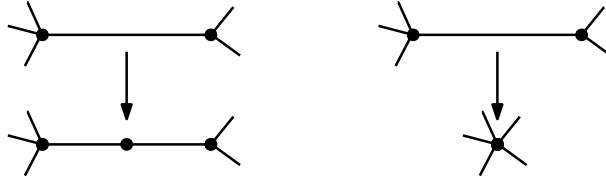


Рис. 5: Подразделение ребра (слева), стягивание ребра (справа)

Замечание 1.3.8. (а) Количество 1-циклов в графе не меняется ни при *подразделении* ребра, ни при *стягивании* ребра (рис. 5). (Вторую из этих идей нужно формулировать аккуратно, ибо при стягивании ребра граф может перестать быть графом, а стать «мультиграфом».) Это можно либо вывести из утверждения 1.3.5.а, либо доказать напрямую (и тогда использовать для другого доказательства утверждения 1.3.5.а; впрочем, этот подход не будет более простым).

(б) Операция суммы позволила коротко записать доказательство утверждения 1.3.5.а (хотя можно было обойтись без нее). Рассматривать не просто множества, а множества с операциями, часто оказывается полезным. При этом явно выписывать использованные очевидные свойства этой операции (т.е. называть множество с этой операцией линейным пространством над \mathbb{Z}_2 или абелевой 2-группой) сейчас вряд ли интересно читателю. Точно так же, как обсуждать структуру линейного пространства над \mathbb{Z}_2 на семействе всех подмножеств n -элементного множества тому, кто только что узнал, что в этом семействе 2^n подмножеств. Из такого обсуждения можно вывести, что количество 1-циклов является степенью двойки. Ценность этого обсуждения пока невелика, поскольку и без него видно, что 1-циклы соответствуют подмножествам ребер вне остовного дерева. Однако, когда для получения ярких результатов будут нужны разные операции с разными свойствами, обсуждение этих свойств (и соответствующих математических терминов) уже будет интересно читателю.

Следующая задача подводит к своему многомерному обобщению — к задаче 2.1.4.еф.

Задача 1.3.9. (а) Количество 1-циклов в $K_{n,n}$ равно $2^{(n-1)^2}$.

(б) Если каждое ребро некоторого 1-цикла в $K_{n,n}$ содержит хотя бы одну из вершин n или n' , то этот 1-цикл пустой.

(с) Любой 1-цикл в $K_{n,n}$ является суммой нескольких циклов длины 4.

Обозначим через \widetilde{K}_n граф, полученный из $K_{n,n}$ удалением всех ребер jj' , $j \in [n]$ (соединяющих вершину j с ее «копией» j' в другой доле графа $K_{n,n}$). Например, \widetilde{K}_3 — цикл $12'31'23'$ длины 6. Граф \widetilde{K}_n естественно появляется в лемме 2.4.5. Из следующей леммы далее используется только п. (б) и только для леммы 1.5.2.б (п. (а) интересен в связи с леммой 1.5.2).

Лемма 1.3.10. Пусть $n \geq 4$.

(а) Любой 1-цикл в \widetilde{K}_n является суммой нескольких циклов длины 4.

(б) Множество циклов $\widehat{ij}' := 12'31'ij'$ для ребер ij' из \widetilde{K}_n таких, что $i, j > 1$ и $(i, j) \neq (3, 2)$, является базисом в $H_1(\widetilde{K}_n)$.

Доказательство. Остовным деревом графа \widetilde{K}_n является подграф, состоящий из простого пути $12'31'$ и ребер ij' для всех $i, j > 1$. Тогда п. (б) следует из лемм 1.3.7.ас. П. (а) следует из п. (б).

Прямое доказательство п. (а). Любой простой цикл в \widetilde{K}_n образован l -элементной циклической последовательностью вершин такой, что

- число l четное и больше 2;
- в последовательности чередуются вершины из разных долей;
- внутри каждой отдельной доли вершины не повторяются;

- не существует двух последовательных вершин m и m' .

Предположим, что такой цикл бесхордовый. Тогда любые две непоследовательные вершины цикла не являются смежными, т. е. либо находятся в одной доле, либо являются вершинами m и m' . Для любой вершины цикла имеется $\frac{l}{2} - 2$ не соседних с ней по циклу вершин из другой доли. Тогда $\frac{l}{2} - 2 \leq 1$, так что $l \in \{4, 6\}$.

В бесхордовом цикле длины 6 любые две противоположные вершины равны m и m' . Следовательно, цикл равен $(m_1, m'_2, m_3, m'_1, m_2, m'_3)$ для некоторых попарно различных m_1, m_2, m_3 . Так как $n \geq 4$, то существует $a \in [n] - \{m_1, m_2, m_3\}$. Тогда цикл равен

$$(m_1, m'_2, m_3, a') + (m_2, m'_3, m_1, a') + (m_3, m'_1, m_2, a')$$

(рис. 3). Теперь требуемый результат следует из утверждения 1.3.4. □

1.4 Соотношения между одномерными циклами

В этом разделе мы опишем соотношения между простейшими 1-циклами (треугольниками в полном графе, а также циклами длины 4 в полном двудольном графе). Этот материал обобщается в утверждениях 2.2.4 и 2.2.5.

Утверждение 1.4.1. (a) Для любых вершин a, b, c, d в K_n выполнено $abc + abd + acd + bcd = 0$.

(b) Любое линейное соотношение между циклами длины 3 является суммой нескольких соотношений из (a).

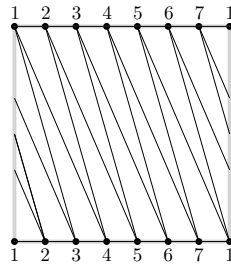


Рис. 6: Триангуляция тора (7-вершинная)

Например,

- соотношение $123 + 124 + 134 + 235 + 245 + 345 = 0$ является суммой соотношений $123 + 124 + 134 + 234 = 0$ и $234 + 235 + 245 + 345 = 0$;

- сумма границ треугольников любой триангуляции сферы или тора (рис. 6) равна 0.

Строго говоря, *линейное соотношение* — это множество циклов длины 3 в K_n такое, что каждое ребро графа K_n содержится в четном числе циклов из этого множества. Поэтому строгая формулировка п. (b) такова (мы отождествляем циклы длины 3 в K_n с 3-элементными подмножествами множества $[n]$).

Пусть $R_1, \dots, R_k \subset [n]$ — такие 3-элементные подмножества, что любое 2-элементное подмножество множества $[n]$ содержится в четном количестве из них. Тогда существуют такие 4-элементные подмножества множества $[n]$, что любое R_i содержится в нечетном количестве из них, а любое другое 3-элементное подмножество множества $[n]$ содержится в четном количестве из них.

В этой строгой формулировке п. (b) эквивалентен утверждению 2.1.2.а.

Утверждение 1.4.2. (a) Для любых попарно различных $a, b, c \in [n]$ и различных $u', v' \in [n]'$ выполнено $au'bv' + bu'cv' + cu'av' = 0$.

(b) Любое линейное соотношение между циклами длины 4 в $K_{n,n}$ является суммой нескольких соотношений из (a), и аналогичных соотношений $a'ub'v + b'uc'v + c'ua'v = 0$.

Строго говоря, *линейное соотношение* — это множество циклов длины 4 в $K_{n,n}$ такое, что каждое ребро графа $K_{n,n}$ содержится в четном количестве циклов из этого множества.

О наиболее близких одномерных обобщениях (на целочисленные 1-циклы и на 1-когомологии) см., например, [Sk20, §4.11, §10.5], [GDI, задача 2.2.6.de], [Sk, §9.2].

1.5 Симметричные одномерные циклы

Укажем, что используется далее из этого параграфа. Симметрия t на графе \widetilde{K}_n используется далее только начиная с утверждения 2.5.6. Лемма 1.5.1 используется далее только в доказательстве леммы 1.5.2.а. Лемма 1.5.2 используется далее только в доказательстве леммы 2.5.7. Утверждение 1.5.3 используется далее только в доказательстве утверждения 1.8.3.

Напомним, что граф \widetilde{K}_n получен из $K_{n,n}$ удалением всех ребер jj' , $j \in [n]$. Обозначим через $t: \widetilde{K}_n \rightarrow \widetilde{K}_n$ симметрию (инволюцию), переставляющую доли графа, то есть переставляющую j и j' для каждого $j \in [n]$.

Через tQ обозначим набор ребер, симметричный набору Q ребер графа \widetilde{K}_n . В частности, Q может быть одним ребром или 1-циклом. Например, $t\widetilde{K}_3 = \widetilde{K}_3$ и $t(12'31'ij') = 1'23'1i'j$. Назовем набор Q ребер *t -симметричным*, если $tQ = Q$. Например, \widetilde{K}_3 является t -симметричным.

Лемма 1.5.1. *Существует взаимно однозначное соответствие между t -симметричными 1-циклами в \widetilde{K}_n и 1-циклами в K_n .*

Нужное соответствие получается из отображения $\widetilde{K}_n \rightarrow K_n$, переводящего вершины j и j' графа \widetilde{K}_n в вершину j графа K_n , для каждого $j \in [n]$.

Из утверждения 1.3.2.а и леммы 1.5.1 вытекает, что количество t -симметричных 1-циклов в \widetilde{K}_n равно $2^{\binom{n-1}{2}}$.

Лемма 1.5.2. (а) *Любой t -симметричный 1-цикл в \widetilde{K}_n является суммой нескольких из следующих 1-циклов: \widetilde{K}_3 и $Q + tQ$ для циклов Q длины 4.*

(б) *Множество всех 1-циклов в \widetilde{K}_n имеет базис, состоящий из (t -симметричного 1-цикла) \widetilde{K}_3 и пар 1-циклов, взаимно симметричных относительно t .*

Набросок доказательства. (а) Возьмем взаимно однозначное соответствие из леммы 1.5.1. Тогда п. (а) следует из утверждения 1.3.2.d и из того, что прообразом цикла длины 3 является \widetilde{K}_3 , а прообразом цикла длины 4 является $Q + tQ$ для некоторого цикла Q длины 4.

(б) Возьмем базис, определенный в лемме 1.3.10.b. Тогда 1-циклы

$$\widetilde{K}_3 = \widehat{23'}, \quad \widehat{ij'}, \quad \widehat{23'} + \widehat{ji'}, \quad \text{где } i > j > 1 \text{ и } (i, j) \neq (3, 2),$$

также образуют базис. Этот базис таков, как требуется в п. (б), поскольку

$$\widehat{23'} + \widehat{ji'} = 1i'j1'32'12'31'23' = 1i'j1'23' = \widehat{tij'}.$$

□

Пусть для графа K задана симметрия (инволюция) $t: K \rightarrow K$, т.е. перестановка множества вершин, для которой

- вершины, соединенные ребром, переходят в вершины соединенные ребром, и
- $t(tv) = v$ для любой вершины v .

Примеры:

- симметрия t графа \widetilde{K}_n , определенная в начале этого параграфа;

• *антиподальная* симметрия цикла четной длины, отображающая каждую вершину в диаметрально противоположную.

Вершина v называется *неподвижной* (при симметрии t), если $v = tv$. Через tQ обозначим набор ребер, симметричный набору Q ребер графа K . В частности, Q может быть одним ребром или 1-циклом. Назовем набор Q ребер *симметричным*, если $tQ = Q$.

Утверждение 1.5.3. Пусть для симметрии t связного графа K с V вершинами и E ребрами нет неподвижных вершин. Обозначим через I количество симметричных ребер. Тогда количество симметричных 1-циклов равно

$$\begin{cases} 2^{(E-V+2)/2}, & \text{если } I = 0 \\ 2^{(E-V+I)/2}, & \text{если } I > 0 \end{cases} .$$

Набросок доказательства. Случай $I = 0$. Говоря нестрого, назовем *фактор-графом* графа K по симметрии t граф K/t , полученный из K «склеиванием» симметричных вершин и симметричных ребер. Строго говоря, вершинами графа K/t являются неупорядоченные пары взаимно симметричных вершин графа K . Ребро в K/t между двумя такими парами проводится, если есть ребро в K между некоторыми вершинами из обеих пар. Например, фактор-графом графа \widetilde{K}_n по симметрии t является граф K_n (ср. с леммой 1.5.1).

Пусть сначала

(*) ни одна вершина графа K не соединена с двумя взаимно симметричными вершинами.

Тогда граф K/t имеет $V/2$ вершин и $E/2$ ребер. По утверждению 1.3.5.а в K/t ровно $2^{(E-V)/2+1}$ 1-циклов. Существует «естественное» взаимно однозначное соответствие между симметричными 1-циклами в K и 1-циклами в K/t . Значит, в K столько же симметричных 1-циклов.

Сведем общий случай к рассмотренному. Обозначим через K' граф, полученный из K подразделением каждого ребра. Обозначим через V' и E' количество вершин и ребер в K' соответственно. Поскольку $V' = V + E$ и $E' = 2E$, то $E' - V' = E - V$. Определим симметрию t' на графе K' так: t' совпадает с t на вершинах графа K , и переводит вершину на ребре σ графа K в вершину на ребре $t\sigma$ графа K . Подразделение ребра не меняет количество 1-циклов. Подразделение двух взаимно симметричных ребер не меняет количество симметричных 1-циклов. Поэтому количества симметричных 1-циклов в K и K' совпадают. Граф K' удовлетворяет условию (*). Следовательно, в нем ровно $2^{(E'-V')/2+1} = 2^{(E-V)/2+1}$ симметричных 1-циклов.

Случай $I > 0$. Докажем в следующем абзаце, что в K существует симметричное остовное дерево T , содержащее ровно одно симметричное ребро.

Выберем произвольное симметричное ребро τ . Построим T итеративно. Обозначим $T_0 = \{\tau\}$. Если дерево T_i является остовным, то положим $T = T_i$. Иначе, поскольку K связан, существует вершина v вне T_i , которая соединена ребром σ с некоторой вершиной дерева T_i . Так как $v \neq tv$, то вершины v и tv являются листьями в $T_{i+1} = T_i \cup \{\sigma, t\sigma\}$, поэтому T_{i+1} является деревом. Дерево T не содержит симметричное ребро σ , отличное от τ , поскольку иначе ребра σ , τ и два взаимно симметричных пути от вершин ребра τ до вершин ребра σ образуют 1-цикл в T .

Возьмем взаимно однозначное соответствие из леммы 1.3.6. Ввиду следующего абзаца при этом соответствии симметричные 1-циклы в K переходят в симметричные наборы ребер вне T .

Ввиду симметричности дерева T верно $\widehat{t\sigma} = t\widehat{\sigma}$ для любого ребра $\sigma \in K \setminus T$. Возьмем симметричный 1-цикл C в K . Поскольку C и T симметричны, $\sigma \in C \setminus T$ тогда и только тогда, когда $t\sigma \in C \setminus T$.

Поскольку в T ровно одно симметричное ребро, то вне T ровно $I - 1$ симметричных ребер. Симметричные наборы ребер вне T разбиваются на $I - 1$ одноэлементных наборов и $(E - V + 1 - (I - 1))/2$ пар взаимно симметричных ребер. Таким образом, количество симметричных наборов ребер вне T равно $2^{(I-1)+(E-V+1-(I-1))/2} = 2^{(E-V+I)/2}$. \square

Более продвинутый материал об инволюциях см., например, в [Sk20, §7].

Набросок сведения случая $I = 0$ утверждения 1.5.3 к случаю $I > 0$. Возьмем произвольную вершину v графа K . Обозначим через K' граф, полученный из графа K добавлением симметричного ребра $\{v, tv\}$, с инволюцией t . Множества симметричных 1-циклов в K' и в K совпадают. Для доказательства этого утверждения достаточно проверить, что в K' нет симметричных 1-циклов, содержащих симметричное ребро. Докажем это в следующем абзаце.

В любом связном 1-цикле C есть эйлеров цикл — цикл, проходящий по всем ребрам 1-цикла C ровно по одному разу. Разобьем вершины симметричного 1-цикла C на два взаимно симметричных множества U и tU . При обходе по эйлеровому циклу в C вершина меняет принадлежность множеству U или tU четное число раз. Значит, количество ребер 1-цикла C между U и tU четно. При этом несимметричные ребра между U и tU разбиваются на взаимно симметричные пары. Поэтому количество симметричных ребер между U и tU четно. Значит, связный симметричный 1-цикл не может содержать ровно одно симметричное ребро. \square

1.6 Геометрическое отступление: декартово произведение графов *

В этом параграфе мы приведем конструкции «двумерных» объектов. Формально, эти конструкции не используются далее, ибо излагаются на языке «одномерном» (§1.7–§1.9) или «комбинаторном» (§2.3–§2.5). Но без знакомства с этими конструкциями такой язык может показаться недостаточно естественным.

Возьмем в трехмерном пространстве n прямоугольников $X Y B_k A_k$, $k = 1, \dots, n$, любые два из которых пересекаются только по отрезку $X Y$. Книжкой с n листами называется объединение этих прямоугольников, рис. 7 для $n = 3$.

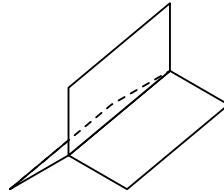


Рис. 7: Книжка с тремя листами

Пример 1.6.1. Любой граф можно нарисовать без самопересечений на книжке с некоторым количеством листов, зависящим от графа. Более строго, для любого n существует целое число k , а также n точек и $n(n - 1)/2$ несамопересекающихся ломаных на книжке с k листами таких, что

- каждая пара точек соединена ломаной, и
- никакая ломаная не пересекает внутренность другой ломаной.

Построение. Построим нужные точки и ломаные на книжке с n листами. Обозначим через $X Y$ отрезок пересечения листов. Поместим вершину V_i на i -й лист вне отрезка $X Y$, $i \in [n]$. На $X Y$ выберем $n(n - 1)/2$ различные точки $A_{\{i,j\}}$, $i, j \in [n]$. Ребро $e_{\{i,j\}}$ изобразим в виде двузвенной ломаной $V_i A_{\{i,j\}} V_j$. Никакое звено ломаной не пересекает внутренность никакого звена другой ломаной, так как либо эти звенья лежат на различных листах, либо они имеют общую вершину. \square

Сначала мы дадим интуитивное определение цилиндра, а затем строгое.

Возьмем вершины a и b в графе K , соединенные ребром. Возьмем прямоугольник-ленточку $aa'b'b$, соответствующую этому ребру. Склеим концевые отрезки ленточек, соответствующие одной и той же вершине, так, чтобы штрихованные буквы склеивались бы со штрихованными. Полученная двумерная фигура называется *цилиндром* над графом K .

Напомним, что \mathbb{R}^d — это d -мерное евклидово пространство (для $d = 2$ и $d = 3$ это обычные плоскость и пространство, которые изучают на уроках геометрии). *Цилиндром* над подмножеством $U \subset \mathbb{R}^d$ называется

$$U \times K_2 := \{(x, t) \in \mathbb{R}^{d+1} : x \in U, t \in [0, 1]\}.$$

Например, цилиндры над K_2 , K_3 и K_5 показаны на рис. 8; цилиндр над $K_{3,1}$ показан на рис. 7; цилиндр над $K_{k,1}$ «выглядит» как книжка с k листами.

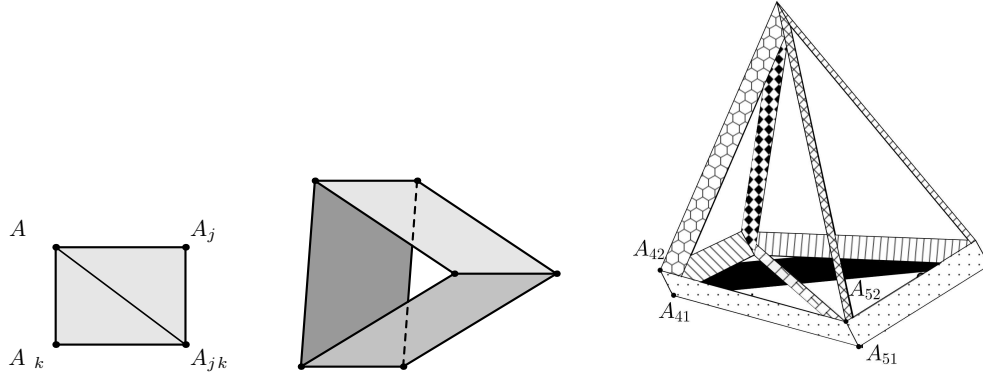


Рис. 8: Цилиндры над K_2 , K_3 , K_5

Пример 1.6.2. Цилиндр над любым графом «реализуем без самопересечений» в \mathbb{R}^3 .

Набросок построения. Возьмем точки $A_{11}, \dots, A_{1n} \in \mathbb{R}^3$, никакие четыре из которых не лежат в одной плоскости. Возьмем вектор v , не параллельный никакой плоскости, проходящей через любые три из этих точек. Для каждого $p \in [n]$ возьмем точку A_{2p} , для которой $A_{1p}\vec{A}_{2p} = v$. Если v достаточно мал, то точки A_{jp} , $j \in \{1, 2\}$, $p \in [n]$, — искомые. \square

Для подмножеств $U, V \subset \mathbb{R}^d$ их (геометрическим) произведением называется

$$U \times V := \{(x, y) \in \mathbb{R}^{2d} : x \in U, y \in V\}.$$

В частности, *квадрат* подмножества $U \subset \mathbb{R}^d$ — это $U^2 = U \times U$. Например, квадрат K_2^2 — это обычный квадрат на плоскости, а квадрат K_3^2 (называемый *тором*) показан на рис. 10, в центре.

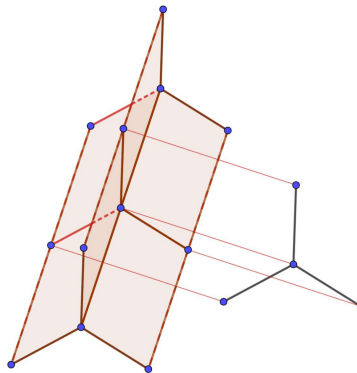


Рис. 9: Изображение квадрата $K_{3,1}^2$ с самопересечениями в трехмерном пространстве

Задача 1.6.3 (загадка). Нарисуйте в \mathbb{R}^3 произведение $K_3 \times K_{3,1}$ без самопересечений.

Замечание 1.6.4. (а) Иногда термин «граф» используется для понятия «тело графа», определяемого следующим образом. Пусть некоторое подмножество в \mathbb{R}^3 находится во взаимно однозначном соответствии с множеством вершин графа K , причем ни один отрезок, соответствующий какому-либо ребру графа K , не пересекает внутренность никакого другого такого отрезка. *Телом* графа K является объединение этого подмножества и всех таких отрезков.

(б) См. обобщения, например, в [Sk, §6].

1.7 Одномерные циклы в произведении графов

Основной результат этого пункта — теорема Кюннета 1.7.7 о классификации 1-циклов с точностью до прибавления *границ* в *произведении* графов. Остальной материал этого пункта подводит к ее формулировке и доказательству. Сама теорема Кюннета 1.7.7 используется далее только в доказательстве теоремы 1.8.1.

Назовем *конфигурацией* пару жуков (красного и синего), расположенных в вершинах красного и синего графов. Назовем две конфигурации *смежными*, если одна из них может быть получена из другой перемещением одного из жуков вдоль какого-либо (одного) ребра.

Иными словами, рассмотрим множество (конфигурационное пространство) упорядоченных пар (x, y) точек x и y графов K и L (точнее, их тел, см. замечание 1.6.4.a), хотя бы одна из которых является вершиной. Это множество является объединением конечного числа отрезков, т. е. телом некоторого графа. Приведем прямое комбинаторное определение этого графа.

Вершинами \square -**произведения** $K \square L$ графов K и L являются упорядоченные пары (a, b) вершин a графа K и b графа L , обозначаемые $a \square b$. Если вершины b и c графа L соединены ребром, то вершины $a \square b$ и $a \square c$ графа $K \square L$ соединены ребром, обозначаемым $a \square bc$. Если вершины b и c графа K соединены ребром, то вершины $b \square a$ и $c \square a$ графа $K \square L$ соединены ребром, обозначаемым $bc \square a$. Других ребер в $K \square L$ нет. Обозначим $K^{\square 2} = K \square K$.

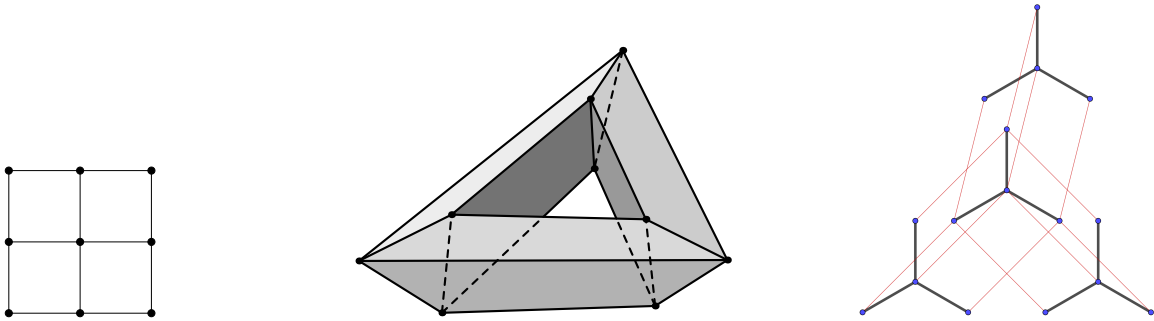


Рис. 10: Слева: $K_{2,1}^{\square 2}$, т. е. сеточный граф 3×3 . В центре: $K_3^{\square 2}$ на торе K_3^2 (границные циклы затынуты серыми четырехугольниками). Справа: $K_{3,1}^{\square 2}$

Например,

- если $K = K_2$ отрезок, то $K^{\square 2}$ — цикл длины 4.
- если $K = K_{2,1}$ путь на трех вершинах, то $K^{\square 2}$ — сеточный граф 3×3 на рис 10 слева;
- если $K = K_3$ цикл на трех вершинах, то $K^{\square 2}$ — граф на рис. 10 в центре; его можно получить из графа $K_{2,1}^{\square 2}$, добавив ребра между соответствующими вершинами 1-й и 3-й строки, а также 1-го и 3-го столбцов (сравните с получением графа K_3 из пути 123 добавлением ребра 13).

• если $K = K_{3,1}$ триод, то $K^{\square 2}$ — граф на рис. 10 справа.

• вершины графа $K_4^{\square 2}$ — узлы сетки 4×4 ; две вершины соединены ребром тогда и только тогда, когда они находятся в одной строке или в одном столбце.

Дополнительную информацию о произведении $K \square L$ см. в [CPG].

Простой цикл в графе $K \square L$ будем обозначать перечислением его вершин через запятую. (Это обозначение отличается от того, что было дано во введении).

Границей называется простой цикл

$$ab \square uv := a \square u, b \square u, b \square v, a \square v$$

для ребер ab и uv в K и L (произведение $ab \times uv$ является прямоугольником, см. §1.6, а $ab \square uv = \partial(ab \times uv)$ является его границей).

Во многих применениях полезно отождествить 1-циклы, отличающиеся на сумму нескольких границ, см., например, [АВМ+, лемма 2.5 и §7].

Оказывается, любой 1-цикл в $K_{2,1}^{\square 2}$ и в $K_{3,1}^{\square 2}$ является суммой нескольких границ (попробуйте доказать!).

Утверждение 1.7.1. *Если K и L — деревья, то любой 1-цикл в $K \square L$ является суммой нескольких границ.*

Это доказывается по индукции, используя удаление висячей вершины.

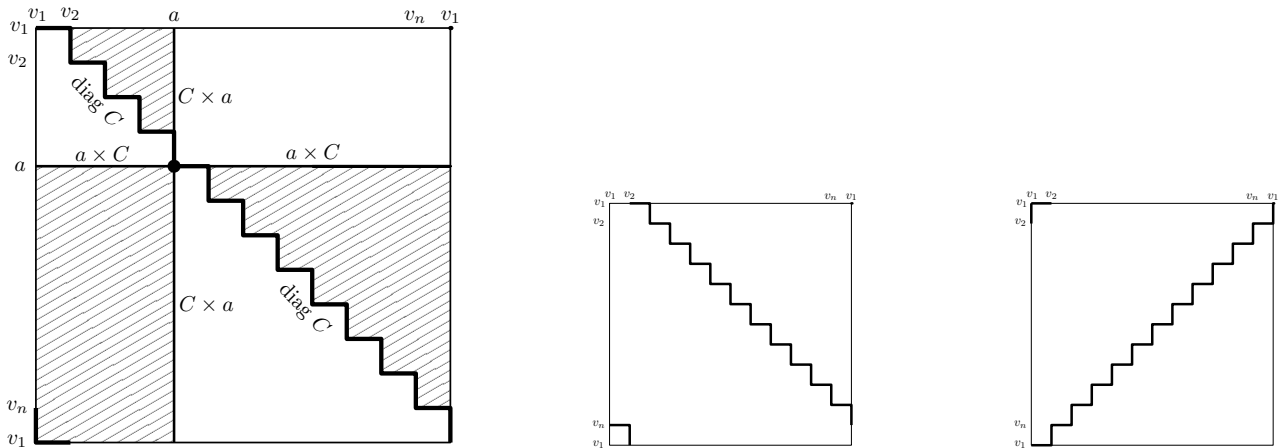


Рис. 11: Слева: диагональный цикл, симметризованный цикл, их разность — сумма заштрихованных границ (наглядное обоснование утверждения 1.7.2.а для $a \in C$). В центре: околodiагональный цикл. Справа: антидиagonalный цикл.

Вот примеры простых циклов в $K_3^{\square 2}$: *диагональный, околodiагональный, антидиagonalный* циклы

$$1 \square 1, 1 \square 2, 2 \square 2, 2 \square 3, 3 \square 3, 3 \square 1; \quad 1 \square 2, 1 \square 3, 2 \square 3, 2 \square 1, 3 \square 1, 3 \square 2;$$

$$1 \square 1, 2 \square 1, 2 \square 3, 3 \square 3, 3 \square 2, 1 \square 2.$$

Вот примеры простых циклов в $K^{\square 2}$ для вершины a и непустого простого цикла $C = v_1 \dots v_k$ в K (рис. 11):

- **левый и правый** циклы $a \square C := a \square v_1, \dots, a \square v_k$ и $C \square a := v_1 \square a, \dots, v_k \square a$;
- **симметризованный** цикл $a \square C + C \square a$;
- **диагональный** цикл $\text{diag } C := v_1 \square v_1, v_1 \square v_2, v_2 \square v_2, \dots, v_k \square v_k, v_k \square v_1$;
- **околodiагональный** цикл $v_1 \square v_2, v_1 \square v_3, v_2 \square v_3, \dots, v_k \square v_1, v_k \square v_2$;
- **антидиagonalный** цикл $v_1 \square v_1, v_2 \square v_1, v_2 \square v_k, \dots, v_k \square v_2, v_1 \square v_2$.

Задача 1.7.2. (а) Диагональный (б) Околodiагональный (с) Антидиagonalный цикл является суммой нескольких границ и симметризованного цикла.

Задача 1.7.3. (а) Никакой ненулевой левый цикл не является суммой нескольких границ.
 (б) Никакой ненулевой диагональный цикл не является суммой нескольких границ.
 (с) Никакой ненулевой левый цикл не является суммой нескольких диагональных циклов и границ.

Это вытекает из (очевидной) леммы 1.7.4.

Левой проекцией C_y по модулю 2 для 1-цикла C в $K \square L$ называется множество всех ребер σ в L таких, что имеется нечетное количество вершин a в K , для которых $a \square \sigma \in C$. *Правая проекция* C_x по модулю 2 определяется аналогично.

Лемма 1.7.4. *Левая (и правая) проекция по модулю 2 любой границы (и, следовательно, любой суммы границ) пуста.*

Количество 1-циклов по модулю границ (или с точностью до прибавления границ) — это максимальное количество 1-циклов в наборе 1-циклов, ни один из которых не является суммой каких-либо других 1-циклов этого набора и нескольких границ.

Два 1-цикла C, C' в $K \square L$ называются *гомологичными* (или сравнимыми по модулю границ), если $C + C'$ является суммой нескольких границ. Обозначение: $C \sim C'$. Количество 1-циклов по модулю границ есть количество классов гомологичности 1-циклов.

Задача 1.7.5. Найдите количество классов гомологичности 1-циклов в
 (а) $K_3^{\square 2}$; (б) $K_{2,2}^{\square 2}$; (с) $K_{2,3}^{\square 2}$; (д) $K_4^{\square 2}$.

Для некоторых пунктов этой задачи полезна теорема Кюннета 1.7.7.b.

Задача 1.7.6. Пусть T — дерево.

(а') Любой 1-цикл в $K \square T$ является суммой правого цикла и нескольких границ.

(а) Для любых 1-цикла C в $K \square T$ и вершины a в T

(а1) существует единственный 1-цикл C_K в K такой, что $C \sim C_K \square a$.

(а2) $C \sim C_x \square a$.

(б) Количество классов гомологичности 1-циклов в $K \square T$ равно количеству 1-циклов в K .

Это доказывается индукцией по количеству вершин в T , используя удаление висячей вершины. Кроме того, п. (б) и существование в (а1) следуют из (а2); единственность в (а1) следует из леммы 1.7.4. На примере решения этой задачи читатель увидит (без технических деталей) основную идею доказательства теоремы Кюннета 1.7.7.

Теорема 1.7.7 (Кюннет). *Пусть графы K и L связны.*

(а') *Любой 1-цикл в $K \square L$ является суммой правого цикла, левого цикла и нескольких границ.*

(а) *Для любых 1-цикла C в $K \square L$ и вершин a, b в K, L*

(а1) *существуют единственные 1-циклы C_K и C_L в K и L такие, что $C \sim C_K \square b + a \square C_L$.*

(а2) $C \sim C_x \square b + a \square C_y$.

(б) *Количество классов гомологичности 1-циклов в $K \square L$ равно произведению количества 1-циклов в K на количество 1-циклов в L .*

Набросок доказательства. По следующей лемме 1.7.8, если $Z_x = Z_y = 0$, то $Z \sim 0$. Применяя ее к $Z = C + C_x \square b + a \square C_y$, получаем (а2).

П. (б) и существование в (а1) следуют из (а2); единственность в (а1) следует из леммы 1.7.4. \square

Лемма 1.7.8. *Если графы K и L связны, Z является 1-циклом в $K \square L$ и $Z_x = 0$, то $Z \sim a \square Z_y$ для любой вершины a в K .*

Набросок доказательства. Докажем лемму индукцией по числу пар $\{\sigma \square v, \sigma \square u\}$ ребер в Z , проецируемых слева на одно и то же ребро в K . Назовем эту индукцию главной. В следующем абзаце докажем базу главной индукции, когда все ребра в Z имеют вид $v \square \tau$. Эту базу докажем индукцией по количеству вершин b в K таких, что $Z \cap (b \square L) \neq \emptyset$. Назовем эту индукцию вложенной.

База вложенной индукции: если таких вершин нет, то Z пуст; если такая вершина a одна, то $Z = a \square Z_y$, и лемма доказана. Для шага вложенной индукции возьмем две такие вершины b, c , отличные от a ; возьмем путь $b = v_1, \dots, v_k = c$ в K и заменим Z на

$$Z' := Z + v_1 v_2 \square Z_y + \dots + v_{k-1} v_k \square Z_y.$$

Для Z' верно предположение вложенной индукции, поэтому $Z \sim Z' \sim a \square Z'_y = a \square Z_y$.

Для шага главной индукции возьмем такую пару $\{\sigma \square v, \sigma \square u\}$, возьмем путь $v = v_1 \dots v_k = u$ в L и заменим Z на

$$Z' := Z + \sigma \square v_1 v_2 + \dots + \sigma \square v_{k-1} v_k.$$

Для Z' верно предположение главной индукции, поэтому $Z \sim Z' \sim a \square Z'_y = a \square Z_y$. □

Набросок доказательства утверждения 1.7.2. Начнем с графа $K_3^{\square 2}$. Можно считать, что $C = 12 \dots k$.

(а) См. идею на рис. 11. Например:

$$\text{diag}(123) = 1 \square K_3 + K_3 \square 1 + 12 \square 23 + 12 \square 31 + 23 \square 31$$

А вот общая формула:

$$\text{diag } C = 1 \square C + C \square 1 + \sum_{\substack{i, j \in [k] \\ i < j}} i(i+1) \square j(j+1), \quad \text{где } k+1 := 1.$$

(b) Околодиагональный цикл в $K_3^{\square 2}$ равен $1 \square K_3 + K_3 \square 1 + 12 \square 31 + 31 \square 12$.

(c) Антидиагональный цикл в $K_3^{\square 2}$ равен $1 \square K_3 + K_3 \square 1 + 23 \square 31 + 31 \square 23 + 31 \square 31$. □

Ответы к задаче 1.7.5: (а) 2^2 ; (b) 2^2 ; (c) 2^4 ; (d) 2^6 .

1.8 Симметричные одномерные циклы в квадрате графа *

Мы рассматриваем симметрию (инволюцию) графа $K^{\square 2}$, переставляющую сомножители (т. е. переставляющую точки (x, y) и (y, x)), и соответствующую симметрию на 1-циклах. О простейшем применении симметричных 1-циклов см. [Sk18, §1.6], [Sk, §1.6].

Теорема 1.8.1. (а) Любой симметричный 1-цикл в $K^{\square 2}$ является суммой нескольких симметризованных циклов $C \square a + a \square C$ и нескольких границ. (Следовательно, он равен сумме нескольких диагональных циклов и нескольких границ; обратите внимание, что диагональный цикл «симметричен по модулю границ».)

(b) Для связного графа K формула

$$C \mapsto [C \square a + a \square C]$$

определяет взаимно однозначное соответствие между 1-циклами в K и симметричными 1-циклами в $K^{\square 2}$ по модулю границ (здесь $[x]$ обозначает класс гомологичности 1-цикла x).

Обратное соответствие задается формулой

$$[Z] \mapsto Z_x = Z_y.$$

Набросок доказательства теоремы 1.8.1. Вот «связный» аналог п. (а): любой симметричный 1-цикл Z в $K^{\square 2}$ для связного графа K является суммой симметризованного цикла $a \square C + C \square a$ и нескольких границ. П.(б) следует из этого утверждения. П.(а) получается из него применением к каждой компоненте связности графа K . Докажем этот аналог в следующем абзаце.

Положим $b = a$ в теореме Кюннета 1.7.7.а. Получим, что $Z \sim Z_x \square a + a \square Z_y$. Поскольку Z симметричен, то $Z_x = Z_y$. \square

Очевидно, что в теореме 1.8.1.а сумма границ является симметричной. Лемма 1.8.2 дает более сильный результат, утверждающий, что эта сумма является суммой 1-циклов особого вида.

Диагональной границей называется 1-цикл $\sigma \square \sigma$ для ребра σ графа K . *Симметризованной границей* называется 1-цикл $\sigma \square \tau + \tau \square \sigma$ для пары $\{\sigma, \tau\}$ различных ребер графа K .

Лемма 1.8.2. *Если сумма границ в $K^{\square 2}$ симметрична, то она является суммой диагональных и симметризованных границ.*

Набросок доказательства. Достаточно доказать лемму для связного графа K . Достаточно доказать, что если сумма попарно различных границ симметрична, то либо сумма равна нулю, либо найдется диагональная граница, либо найдутся два взаимно симметричных слагаемых. Рассмотрим аналогичное утверждение, в котором $K^{\square 2}$ заменен на $K \square T \cup_{T \square T} T \square K$, где T является деревом.

Оно доказывается индукцией по числу вершин дерева T , используя удаление листа. Для того, чтобы свести лемму к этому аналогичному утверждению, используется равенство $\sum_{i,j} \sigma_i \square \tau_j = 0$ для любых двух простых циклов в K , имеющих последовательные ребра $\sigma_1 \dots \sigma_k$ и $\tau_1 \dots \tau_\ell$ (см. утверждение 2.3.3.а и свойство 2.3.1(iii)). Используя это равенство, заменим данную сумму границ на равную ей сумму, не содержащую слагаемых $\sigma \square \tau$, соответствующих ребрам σ, τ вне остовного дерева T графа K . \square

Полное немного другое доказательство (Е. Дженджер). Достаточно доказать лемму для связного графа. Обозначим через S симметричную сумму границ, а через T — максимальное остовное дерево в K . Назовем зеркальной границей произвольную сумму диагональных и симметризованных границ. Докажем индукцией по числу E ребер в $S \setminus (T \square T)$, что S является зеркальной границей. Назовем эту индукцию главной.

Докажем *базу главной индукции* при $E = 0$ индукцией по числу n вершин в дереве T . Назовем эту индукцию вложенной. В этом случае $S \subset T \square T$.

База вложенной индукции при $n = 1$ очевидна. В следующих четырех абзацах докажем *переход вложенной индукции* от n к $n + 1$.

Возьмем висячую вершину v и обозначим через u единственного соседа вершины v в дереве T . Если $(uv, v) \in S$, то положим

$$S' = \sum_{\substack{e \in K \\ e \neq uv}} (e \square uv + uv \square e) + uv \square uv.$$

Иначе (если $(uv, v) \notin S$) положим

$$S' = \sum_{\substack{e \in K \\ e \neq uv}} (e \square uv + uv \square e).$$

Тогда в $S + S'$ нет ребер (xy, v) и (v, xy) , где x, y — вершины дерева T . Значит, $S + S' \subset (T - v) \square (T - v)$. По предположению вложенной индукции, $S + S'$ является зеркальной границей. Тогда $S = (S + S') + S'$ является зеркальной границей.

Докажем *переход главной индукции* от E к $E + 1$. Возьмем ребро (ab, x) в $S \setminus T \square T$. Так как S является суммой границ и $S_x = \emptyset$, то найдется вершина $y \neq x$ в K , для которой в S есть ребро (ab, y) . Положим

$$S' := ab \square (x \dots y) + (x \dots y) \square ab.$$

1-Цикл S' является зеркальной границей. Дополнение $S' \setminus (T \square T)$ содержит только ребра (ab, x) , (x, ab) , (ab, y) , (y, ab) . Так как они принадлежат S , то $S + S'$ содержит $E - 4$ ребра не из $T \square T$. Значит, $S + S'$ является зеркальной границей по предположению главной индукции. Тогда для $S = (S + S') + S'$ утверждение леммы также верно. \square

Утверждение 1.8.3. *Для связного графа K с V вершинами и E ребрами количество симметричных 1-циклов в $K^{\square 2}$ равно $2^{VE - \binom{V}{2}}$.*

Набросок доказательства. Заменяем «диагональные» вершины $a \square a$ графа $K^{\square 2}$ на ребра, рис. 12. Тогда ни одна вершина в полученном графе не будет неподвижна. Строго говоря, по графу $K^{\square 2}$ построим граф $K^{\circ 2}$ следующим образом: заменим каждую вершину $a \square a$ на две вершины $a \square \circ$ и $\circ \square a$, соединенные ребром (символу \circ не придается отдельного смысла). Каждую вершину $a \square b$, которая соединена с $a \square a$ в $K^{\square 2}$, соединим с $a \square \circ$ в $K^{\circ 2}$. Каждую вершину $b \square a$, которая соединена с $a \square a$ в $K^{\square 2}$, соединим с $\circ \square a$ в $K^{\circ 2}$. Симметрия графа $K^{\circ 2}$ переставляет местами вершины $a \square b$, где a или b могут совпадать с \circ .



Рис. 12: Слева: $K_{2,1}^{\square 2}$, т. е. сеточный граф 3×3 . Справа: $K_{2,1}^{\circ 2}$

В графе $K^{\circ 2}$ ровно $V^2 + V$ вершин и $2VE + V$ ребер. Из этих ребер ровно V симметричны. Тогда по утверждению 1.5.3 в $K^{\circ 2}$ ровно $2^{VE - \binom{V}{2}}$ симметричных 1-циклов. Поэтому достаточно доказать, что существует взаимно однозначное соответствие между симметричными 1-циклами в $K^{\circ 2}$ и симметричными 1-циклами в $K^{\square 2}$.

Для этого определим *стягивание «диагональных» ребер*, т.е. отображение $f: V(K^{\circ 2}) \rightarrow V(K^{\square 2})$, сопоставив вершине $a \square b$ вершину $a \square a$, если $b = \circ$; $b \square b$, если $a = \circ$ и $a \square b$ иначе. Отображение f задает взаимно однозначное соответствие между «недиагональными» ребрами графа $K^{\circ 2}$ и ребрами графа $K^{\square 2}$. Следовательно, оно задает взаимно однозначное соответствие \hat{f} между наборами «недиагональных» ребер графа $K^{\circ 2}$ и наборами ребер графа $K^{\square 2}$.

Возьмем симметричный 1-цикл C в графе $K^{\circ 2}$ и вершину $a \square b$ в $K^{\square 2}$. Если $a \neq b$, то $a \square b$ принадлежит тем ребрам множества $\hat{f}C$, прообразы которых смежны с вершиной $a \square b$ в $K^{\circ 2}$. Иначе $a \square a$ принадлежит тем ребрам множества $\hat{f}C$, прообразы которых смежны с вершинами $a \square \circ$ и $\circ \square a$ в $K^{\circ 2}$. Так как C является 1-циклом, количества указанных в обоих случаях ребер четны. Поэтому $\hat{f}C$ является 1-циклом в $K^{\square 2}$.

Поскольку $tf\sigma = \hat{f}t\sigma$ для любого «недиагонального» ребра σ в $K^{\circ 2}$, то $\hat{f}C$ является симметричным.

Осталось заметить, что любой 1-цикл в $K^{\circ 2}$ однозначно определяется своим набором «недиагональных» ребер. \square

1.9 Одномерные циклы во взрезанном квадрате графа *

Следующее (как и K^2 , определенный в §2.4) является теоретико-графовым аналогом множества размещений. Рассмотрим двух жуков на K , как описано в начале §1.7, которым теперь запре-

щено находиться в одной вершине. Иными словами, рассмотрим множество (конфигурационное пространство) упорядоченных пар (x, y) точек графа K (точнее, его тела, см. замечание 1.6.4.а), хотя бы одна из которых является вершиной, а другая не лежит внутри ребра с концом в этой вершине. Это множество является объединением конечного числа отрезков, т. е. телом некоторого графа. Вот прямое комбинаторное определение этого графа.

Вершинами графа $K^{\square 2}$ являются упорядоченные пары различных вершин графа K . Вершины графа $K^{\square 2}$ соединены ребром в $K^{\square 2}$, если они соединены ребром в $K^{\square 2}$. Обозначение с нижним подчеркиванием для графа $K^{\square 2}$ (как и для K^{\square} в §2.4) мотивировано обозначением для количества размещений (нижней степени, убывающего факториала). Мы просим читателя отличать $K^{\square 2}$ от $K^{\square 2}$ (и далее K^{\square} от K^{\square}).

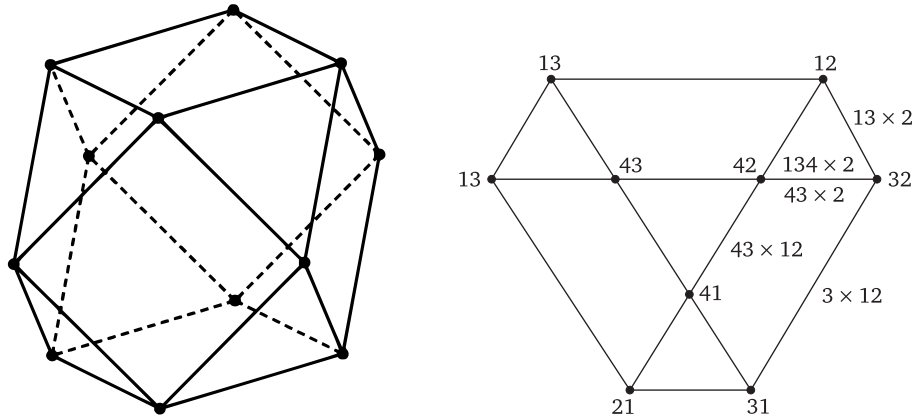


Рис. 13: Слева: кубооктаэдр; объединение ребер есть $K_4^{\square 2}$; четырехугольные грани образуют $K_4^{\square 2}$ (см. §2.3). Справа: то же с некоторыми пояснениями; на рисунке не показана невидимая часть, проекция которой получается из изображенной проекции поворотом на $\pi/3$

Например,

- $K_{2,1}^{\square 2}$ — объединение двух непересекающихся копий графа $K_{2,1}$;
- $K_3^{\square 2}$ — цикл на 6 вершинах;
- $K_{3,1}^{\square 2}$ — цикл на 12 вершинах;
- $K_4^{\square 2}$ — объединение ребер кубооктаэдра, рис. 13.

Среди циклов, определенных перед утверждением 1.7.2, некоторые лежат в $K^{\square 2} \subset K^{\square 2}$. Это, например, околодиагональные циклы и симметризованные циклы $a \square C + C \square a$ для $a \notin C$. А вот симметризованный цикл $a \square C + C \square a$ для $a \in C$ не лежит в $K^{\square 2}$.

Задача 1.9.1. (загадка) Найдите количество 1-циклов в $K^{\square 2}$ для связного графа K . (Указание: примените утверждение 1.3.5.а и его обобщение для несвязных графов.)

Задача 1.9.2. Найдите количество 1-циклов в $K^{\square 2}$ по модулю границ (содержащихся) в $K^{\square 2}$ (т. е. по модулю границ, соответствующих парам несмежных ребер), для $K =$

- (а) K_3 ; (б) $K_{2,2}$; (с) $K_{2,3}$; (д) K_4 ; (е) $K_{3,3}$; (ф) K_5 .

(По поводу обобщения на произвольные графы см. [FH10].)

Далее изучается выразимость одних 1-циклов в $K^{\square 2}$ через другие.

Например, следующая гипотеза является версией утверждения 1.7.2.б с заменой $K^{\square 2}$ на $K^{\square 2}$.

Гипотеза 1.9.3. В $K^{\square 2}$ никакой околодиагональный цикл не является суммой границ и симметризованных циклов.

Триодическим циклом называется цикл

$$1 \square 3, 1 \square 1', 1 \square 2, 1' \square 2, 3 \square 2, 3 \square 1', \dots \text{ в } K_{3,1}^{\square 2},$$

где точками обозначена часть, симметричная выписанной части (т. е. полученная заменой $x \square y$ на $y \square x$). *Триодическим циклом* также называется аналогичный цикл, соответствующий $K_{3,1}$ -подграфу графа K .

Задача 1.9.4. (а) Триодический цикл не является суммой никаких границ в $K^{\square 2}$.

(б) Любой ли симметризованный цикл в $K^{\square 2}$ является суммой околodiагональных циклов, триодических циклов, и границ?

(с) Любой ли околodiагональный цикл в $K_4^{\square 2}$ является суммой некоторых симметризованных циклов, триодических циклов, и границ?

(d) Выразите в $K_4^{\square 2}$ цикл $4 \square K_3 + K_3 \square 4$ через околodiагональные и триодические циклы по модулю границ (см. ответ в [ABM+, замечание 7.3.b]).

Гипотеза 1.9.5. В $K^{\square 2}$

(а) любой 1-цикл является суммой левых циклов, правых циклов, околodiагональных циклов, триодических циклов, и границ.

(б) любой симметричный 1-цикл является суммой околodiагональных циклов, триодических циклов, и границ (см. доказательство в [Bo]).

(с) любой симметричный 1-цикл является суммой «симметричных околodiагональных циклов», триодических циклов, и симметризованных границ.

Указания и ответы к задаче 1.9.2. (а-d) Если множество границ в $K^{\square 2}$ для графа K из пп. (а-d) имеет нулевую сумму, то это множество пусто. См. утверждения 2.3.1 и 2.4.2.abc.

(е), (f) Сумма всех границ в $K^{\square 2}$ равна нулю. Это единственный непустой набор границ в $K^{\square 2}$, сумма которых равна нулю. См. утверждения 2.3.1, 2.4.3 и 2.4.4.

Ответы: (а) 2^1 ; (б) 2^1 ; (с) 2^5 ; (d) 2^7 ; (е) 2^8 ; (f) 2^{12} . □

2 Двумерные циклы

В этом параграфе мы приведем «двумерные» обобщения результатов из §1, а также их применения.

2.1 Двумерные циклы в гиперграфах *

Назовем *2-циклом* множество C , состоящее из 3-элементных подмножеств (называемых «гранями») множества $[n]$, такое, что каждое 2-элементное подмножество множества $[n]$ содержится в четном количестве подмножеств, являющихся элементами множества C .

Например, пустое множество является 2-циклом.

Приведем еще один пример 2-цикла. Для 4-элементного подмножества $A \subset [n]$ назовем *тетраэдром* T_A множество всех 3-элементных подмножеств множества A . Другими словами, для попарно различных $a, b, c, d \in [n]$ определим *тетраэдр*

$$T_{\{a,b,c,d\}} := \{\{a, b, c\}, \{a, b, d\}, \{a, c, d\}, \{b, c, d\}\}.$$

Очевидно, что любой тетраэдр является 2-циклом.

Понятие 2-цикла уже неявно появлялось как соотношение между 1-циклами (утверждения 1.4.1 и 1.4.2) и при подсчете количества 1-циклов по модулю границ (задача 1.9.2). Другие воплощения этого понятия появятся далее в виде ладейных циклов (задача 2.1.4 и замечание 2.1.5) и клеточных 2-циклов в произведении графов (§2.3).

Сравните следующие утверждения 2.1.1, 2.1.2 и 2.2.4 с аналогичными утверждениями 1.3.1, 1.3.2 и 1.4.1 соответственно.

Границей грани $\{a, b, c\}$ называется семейство подмножеств $\{ab, bc, ca\}$.

Утверждение 2.1.1. (а) Сумма 2-циклов является 2-циклом.

(б) Множество граней является 2-циклом тогда и только тогда, когда сумма границ этих граней нулевая.

Утверждение 2.1.2. (а) Любой 2-цикл является суммой нескольких тетраэдров.

(б) Количество 2-циклов для $[n]$ равно $2^{\binom{n-1}{3}}$.

Набросок доказательства. Доказательство аналогично доказательствам соответствующих пунктов утверждения 1.3.2.

(а) Достаточно показать, что произвольный 2-цикл C равен сумме

$$\widehat{C} := \sum_{\substack{\{i,j,k\} \in C \\ i,j,k < n}} T_{\{i,j,k,n\}}$$

тетраэдров $T_{\{i,j,k,n\}}$ по всем 3-элементным подмножествам $\{i, j, k\} \in C$, не содержащим n . Каждая грань в $C + \widehat{C}$ содержит n . Заметим, что если все грани 2-цикла имеют общую вершину, то этот 2-цикл пустой. Поэтому $C + \widehat{C} = 0$, т. е. $C = \widehat{C}$.

(б) Доказывается построением биекции между множеством 2-циклов в $[n]$ и множеством подмножеств двумерных граней в $[n-1]$, аналогично утверждению 1.3.5.а. (Эта биекция дает единственность разложения на суммы тетраэдров вида $T_{\{i,j,k,n\}}$ в п. (а).) \square

Задача 2.1.3 (загадка). Придумайте и докажите многомерные аналоги утверждений 2.1.1-2.1.2.

Частный случай $l = 2$ следующей конструкции соответствует утверждениям 1.3.9 и 1.4.2.

Задача 2.1.4. Назовем *рядом* подмножество множества $[n]^\ell$ векторов длины ℓ , получаемое фиксацией всех координат, кроме одной. Определим *ладейный цикл* как подмножество множества $[n]^\ell$, содержащее четное количество векторов в каждом ряду. Например, пустое множество является ладейным циклом.

Назовем *параллелепипедом* подмножество $P_1 \times \dots \times P_\ell \subset [n]^\ell$, где P_i есть 2-элементные подмножества множества $[n]$. Очевидно, что любой параллелепипед является ладейным циклом.

(а) Сумма ладейных циклов является ладейным циклом.

(б) Если в ладейном цикле нет элементов из $[n-1]^\ell$, то этот ладейный цикл пустой.

(с) Любой ладейный цикл является суммой нескольких параллелепипедов.

(д) Сколько имеется ладейных циклов в $[n]^\ell$?

Доказательство п. (с). Для $a \in [n-1]^\ell$ обозначим через $P(a) := \{n, a_1\} \times \dots \times \{n, a_\ell\}$ параллелепипед с противоположными вершинами a и (n, \dots, n) . Достаточно доказать, что любой ладейный цикл $C \subset [n]^\ell$ равен сумме \widehat{C} параллелепипедов $P(a)$ по всем $a \in C \cap [n-1]^\ell$. Сумма $C + \widehat{C}$ является ладейным циклом. Так как $P(a) \cap [n-1]^\ell = \{a\}$, то $(C + \widehat{C}) \cap [n-1]^\ell = \emptyset$. По п. (б) имеем $C + \widehat{C} = \emptyset$, т. е. $C = \widehat{C}$. \square

Указание к п. (д) для $\ell = 2$. Ребро $ab' \in K_{n,n}$ соответствует паре $(a, b) \in [n]^2$. Вершина $a \in [n]$ соответствует ряду $x = a$, вершина $b' \in [n]'$ соответствует ряду $y = b$. Ребро, содержащее вершину, соответствует элементу множества $[n]^2$, принадлежащему ряду. Тогда 1-циклы в $K_{n,n}$ соответствуют ладейным циклам в $[n]^2$. В частности, циклы длины 4 соответствуют параллелепипедам, (которые при $\ell = 2$ можно назвать параллелограммами). \square

Назовем *2-гиперграфом* (двумерным гиперграфом, или 3-однородным гиперграфом) пару (V, F) из конечного множества V и семейства F , состоящего из нескольких 3-элементных подмножеств множества V . Назовем *гранью* элемент семейства F . Назовем *ребром* 2-элементное подмножество, содержащееся в некоторой грани. Количества вершин, ребер и граней обозначаются V , E и F (V и F — так же, как множества).

Назовем *2-циклом* (симплициальным, по модулю 2) множество C граней такое, что каждое ребро содержится в четном количестве граней из C .

Замечание 2.1.5. Существуют 2-гиперграф и взаимно однозначное соответствие между множеством его граней и $[n]^3$, которое дает взаимно однозначное соответствие между 2-циклами и ладейными циклами (см. задачу 2.1.4).

Построим такой 2-гиперграф. В качестве его вершин возьмем $[n] \times [3]$. Грани образуются тройками вершин из различных строк. Взаимно однозначное соответствие переводит грань $\{(a, 1), (b, 2), (c, 3)\}$ в вершину $(a, b, c) \in [n]^3$. Например, оно переводит октаэдр в 2-гиперграфе в параллелепипед в $[n]^3$.

Назовем 2-гиперграф *связным*, если связан граф, являющийся объединением его ребер.

Пример 2.1.6 (ср. утверждения 1.3.5.а и 2.2.3). Существуют два связных 2-гиперграфа, имеющие одинаковое количество вершин, ребер и граней, но разное количество 2-циклов.

Набросок доказательства. Возьмем центрально-симметричную триангуляцию T квадрата, настолько мелкую, что никакой треугольник, примыкающий к границе квадрата, не пересекает симметричный ему треугольник. Обозначим через T' гиперграф, полученный из гиперграфа T склейкой центрально-симметричных вершин на границе квадрата. При этом склеиваются центрально-симметричные ребра на границе квадрата. (T' — триангуляция *проективной плоскости*). В гиперграфе T нет ненулевых 2-циклов. В гиперграфе T' множество всех граней образует ненулевой 2-цикл.

У гиперграфов T и T' одинаковы количества F граней и *эйлеровы характеристики* $V - E + F$.

(1) К гиперграфу можно добавить грань, имеющую с ним ровно одну общую вершину.

При этом количество вершин увеличится на 2, ребер — на 3, граней — на 1.

(2) К гиперграфу можно добавить грань, имеющую с ним ровно одно общее ребро.

При этом количество вершин увеличится на 1, ребер — на 2, граней — на 1.

Эти операции не меняют количества 2-циклов.

Применим операции (1) к тому из гиперграфов T, T' , в котором меньше ребер, и такое же число операций (2) к другому, можно добиться равенства количеств ребер (сохраняя равенство количеств граней и эйлеровых характеристик). Получим нужные гиперграфы. \square

2.2 Соотношения между циклами в гиперграфах *

В этом разделе мы затронем два независимых сюжета: утверждения 2.2.1-2.2.3 и 2.2.4-2.2.5.

Задача 2.2.1. В парламенте из n человек имеется несколько (попарно различных по составу) комиссий по три человека в каждой. Известно, что каждый человек находится в некоторой комиссии. Известно также, что если два человека находятся в некоторой комиссии, то множество из этих двух человек содержится ровно в двух комиссиях. Такие две комиссии называются *смежными*. Еще известно, что любые две комиссии соединяются цепочкой комиссий, в которой соседние комиссии смежны. Докажите, что число комиссий не меньше $2n - 4$.

Вот переформулировка и решение на языке гиперграфов. Произвольный 2-гиперграф называется *гранесвязным*, если любые две грани можно соединить цепочкой граней, в которой любые две соседние грани имеют общее ребро.

Утверждение 2.2.2 (экстремальное свойство эйлеровой характеристики поверхностей). *Дан граф несвязный 2-гиперграф без изолированных вершин, имеющий V вершин и F граней.*

(а) *Если к каждому ребру примыкает ровно две грани, то $F \geq 2V - 4$.*

(Ввиду $2E = 3F$ это равносильно неравенству $V - E + F \leq 2$, где E — количество ребер.)

(б) *Если к каждому ребру примыкает не более двух граней, а к некоторому — ровно одна грань, то $V - E + F \leq 1$, где E — количество ребер.*

Одномерным остовом 2-гиперграфа (V, F) называется граф (V, E) , где E — множество ребер.

Набросок доказательства утверждения 2.2.2. ¹ П. (а) доказывается аналогично п. (б) или сводится к нему. Докажем п. (б). В его предположениях сумма любого непустого набора границ граней непуста. Так как гиперграф гранесвязен, то его одномерный остов связан. Поэтому ввиду отсутствия изолированных вершин и утверждения 1.3.5.а выполнено $2^F \leq 2^{E-V+1}$. \square

Назовем 1-циклом в 2-гиперграфе 1-цикл в его одномерном остове. Назовем два 1-цикла в 2-гиперграфе гомологичными, если их сумма является суммой границ некоторых граней (ср. с определением перед задачей 1.7.5).

Утверждение 2.2.3. (а) *Количество классов гомологичности 1-циклов и количество 2-циклов в этом гиперграфе является степенью числа 2.*

(б) *Дан 2-гиперграф с V вершинами, E ребрами и F гранями. Обозначим через b_0 количество компонент связности, через 2^{b_1} количество классов гомологичности 1-циклов, через 2^{b_2} количество 2-циклов. Тогда $b_0 - b_1 + b_2 = V - E + F$.*

Набросок доказательства. Число 2^{b_1} равно отношению количества 2^{E-V+b_0} всех 1-циклов (обобщение утверждения 1.3.5.а) к количеству 2^{F-b_2} тех 1-циклов, которые гомологичны нулю (т. е. равны сумме границ некоторых граней).² \square

Задача 2.2.4. (а) Для любого 5-элементного подмножества $A \subset [n]$ выполнено $\sum_{j \in A} T_{A-\{j\}} = 0$.

(б) Любое линейное соотношение между тетраэдрами является суммой нескольких соотношений из п. (а).

Строгая формулировка п. (б) аналогична строгой формулировке утверждения 1.4.1.b и получается из последней заменой чисел 2, 3, 4 на числа 3, 4, 5, соответственно (мы отождествляем тетраэдры в $[n]$ с 4-элементными подмножествами $[n]$). П. (б) является многомерным аналогом утверждения 2.1.2.b; доказательство аналогично.

Утверждение 2.2.5. (а) *Для любых попарно различных $a, b, c \in [n]$ и параллелепипеда $P \subset [n]^{\ell-1}$ выполнено $P \times \{a, b\} + P \times \{b, c\} + P \times \{c, a\} = 0$.*

(б) *Любое линейное соотношение между параллелепипедами в $[n]^\ell$ является суммой нескольких соотношений из (а), и соотношений, получаемых из (а) перестановками координат. (Строгая формулировка аналогична строгим формулировкам утверждений 1.4.2.b и 2.2.4.b.)*

Доказательство п. (б). (б) Любой параллелепипед P с некоторым $P_i \subset [n-1]$ является суммой нескольких заданных соотношений и двух параллелепипедов, полученных из P заменой на n одного из двух элементов в P_i . Значит, в каждом из этих двух параллелепипедов количество пар P_j , не содержащих n , меньше, чем в P . Следовательно, любое соотношение между параллелепипедами является суммой нескольких заданных соотношений и соотношения $P(a_1) + \dots + P(a_s) = 0$, для

¹Это рассуждение можно считать алгебраической формализацией геометрической идеи, изложенной в [Sk20, доказательство утверждения 2.4.1d¹], прямая реализация которой непроста [Sk20, §5.1, 5.8].

²Утверждение 2.2.3 достаточно доказать для связных 2-гиперграфов. Однако приведенное доказательство (без такой редукции) интересно тем, что обобщается на многомерный случай [Sk20, Утверждение 10.6.8].

некоторых попарно различных $a_1, \dots, a_s \in [n-1]^\ell$. В последнем соотношении нет слагаемых, поскольку

$$\emptyset = (P(a_1) + \dots + P(a_s)) \cap [n-1]^\ell = \{a_1, \dots, a_s\}.$$

Здесь второе равенство выполняется в силу $P(a) \cap [n-1]^\ell = \{a\}$. □

2.3 Двумерные циклы в произведении графов

(Комбинаторным) произведением графов K и L называется множество

$$K \times L := \{(\sigma, \tau) : \sigma, \tau \text{ являются ребрами графа } K, L \text{ соответственно}\}.$$

упорядоченных пар (σ, τ) ребер σ, τ графов K, L соответственно.

Это определение не является общепринятым (обычно так обозначают декартово произведение графов, см. §1.6). Такие комбинаторные произведения можно формально свести к гиперграфам, определенным в §2.1. Но читателю незачем тратить время на формализацию связи между аналогичными объектами, пока такая формализация не потребуется для какого-нибудь яркого результата.

В этом тексте случай $K \neq L$ используется только для определения тора и в утверждении 2.3.4.b.

Пары из $K \times L$ будем называть *клетками*. Клетки (α, β) и (σ, τ) в $K \times L$ называются *смежными*, если

- либо $\alpha = \sigma$ и β, τ имеют общую вершину,
- либо $\beta = \tau$ и α, σ имеют общую вершину³.

Квадратом графа K называется $K^2 := K \times K$. **Клеточным 2-циклом** (в K^2) называется подмножество $C \subset K^2$ такое, что для каждой вершины a и ребра β графа K

- имеется четное количество ребер α в K таких, что $\alpha \ni a$ и $(\alpha, \beta) \in C$, а также
- имеется четное количество ребер α в K таких, что $\alpha \ni a$ и $(\beta, \alpha) \in C$.

Иными словами, $C \subset K^2$ является клеточным 2-циклом, если к любому ребру «примыкает» четное число клеток из C .

Сравните следующие свойство 2.3.1.(iii) и утверждение 2.3.2 с аналогичными утверждениями 2.1.1, 2.1.4.a.

Утверждение 2.3.1. *Следующие условия равносильны для подмножества $C \subset K^2$*

- (i) C является клеточным 2-циклом;
- (ii) для каждого ребра σ в K оба множества («вертикальное сечение» и «горизонтальное сечение»)

$$C_{\sigma, \cdot} := \{\tau : (\sigma, \tau) \in C\} \quad \text{и} \quad C_{\cdot, \sigma} := \{\tau : (\tau, \sigma) \in C\}$$

являются 1-циклами в K ;

- (iii) сумма границ $\sigma \square \tau$ по всем $(\sigma, \tau) \in C$ равна нулю.

Доказательство. Обозначим $\delta v := \{\tau : \tau \ni v\}$. Условие (i) равносильно условию

- (i') $|C \cap (\delta v \times \sigma)|$ и $|C \cap (\sigma \times \delta v)|$ четны для любого ребра σ и вершины v графа K .

Доказательство равносильности (ii) \Leftrightarrow (i'). Условие (ii) равносильно условию

- (ii') $|C_{\cdot, \sigma} \cap \delta v|$ и $|C_{\sigma, \cdot} \cap \delta v|$ четны для любого ребра σ и вершины v графа K .

Последнее условие равносильно условию (i') ввиду равенств

$$|C \cap (\delta v \times \sigma)| = |C_{\cdot, \sigma} \cap \delta v| \quad \text{и} \quad |C \cap (\sigma \times \delta v)| = |C_{\sigma, \cdot} \cap \delta v|$$

³Т. е. если эти клетки имеют «общее ребро» в $K \square L$. Тогда если склеить смежные клетки по их «общим ребрам» в $K \square L$, то получится геометрическое произведение, обсуждаемое в §1.6.

для любого ребра σ и вершины v графа K .

Доказательство равносильности (iii) \Leftrightarrow (i'). Обозначим через S сумму границ $\sigma \square \tau$ по всем $(\sigma, \tau) \in C$. Условие (iii) равносильно условию (i') ввиду равносильностей

$$v \square \sigma \notin S \Leftrightarrow |C \cap (\delta v \times \sigma)| \text{ четно} \quad \text{и} \quad \sigma \square v \notin S \Leftrightarrow |C \cap (\sigma \times \delta v)| \text{ четно}$$

для любого ребра σ и вершины v графа K . □

Далее под клеточным 2-циклом будем понимать подмножество квадрата K^2 , удовлетворяющее свойству 2.3.1(ii).

Утверждение 2.3.2. *Сумма по модулю 2 клеточных 2-циклов является клеточным 2-циклом.*

Тором в K^2 называется произведение простых циклов в K .

Утверждение 2.3.3. (a) *Тор является клеточным 2-циклом.*

(b) *В торе имеется ровно один непустой клеточный 2-цикл.*

Доказательство. Возьмем простые циклы Z_1, Z_2 в K и тор $Z := Z_1 \times Z_2 \subset K^2$.

(a) Для любого ребра σ графа K множество $Z_{\sigma, \cdot}$ либо равно Z_2 , либо пусто; множество $T_{\cdot, \sigma}$ либо равно Z_1 , либо пусто.

(b) Обозначим через C непустой клеточный 2-цикл в торе Z . Тогда найдутся ребра $\sigma \in Z_1$, $\tau \in Z_2$ такие, что $(\sigma, \tau) \in C$. Выберем произвольное $(\alpha, \beta) \in Z$. Так как сечение $C_{\cdot, \tau}$ непусто, то $C_{\cdot, \tau} = Z_1$. В частности, $(\alpha, \tau) \in C$. Так как сечение $C_{\alpha, \cdot}$ непусто, то $C_{\alpha, \cdot} = Z_2$. В частности, $(\alpha, \beta) \in C$. Следовательно, $C = T$. □

Утверждение 2.3.4 (ср. утверждение 1.3.5.b). *Для дерева $T \subset K$ любой клеточный 2-цикл, содержащийся в*

$$(a) T^2; \quad (b) \bar{T} := T \times K \cup K \times T$$

является пустым.

Доказательство. (a) Пусть C — клеточный 2-цикл в T^2 . Поскольку T — дерево, из утверждения 1.3.5.b следует, что $C_{\sigma, \cdot} = 0$ для любого ребра σ дерева T . И потому $C = 0$.

(b) Пусть C — клеточный 2-цикл в \bar{T} . Поскольку T — дерево, из утверждения 1.3.5.b следует, что $C_{\sigma, \cdot} = 0$ для любого ребра σ графа $K \setminus T$. И потому $C \subset T \times K$. Поскольку T — дерево, из утверждения 1.3.5.b следует, что $C_{\cdot, \sigma} = 0$ для любого ребра σ графа K . И потому $C = 0$. □

Нетривиальные примеры клеточных 2-циклов приведены в утверждении 2.4.3.

Утверждение 2.3.5. (a) *Любой клеточный 2-цикл в квадрате графа является суммой нескольких торов.*

(b) *Для связного графа K с V вершинами и E ребрами количество клеточных 2-циклов в K^2 равно $2^{(E-V+1)^2}$.*

Формулировки этого утверждения и следующей леммы, а также их доказательства, аналогичны формулировкам и доказательствам утверждений 1.3.3, 1.3.5.a и леммы 1.3.7.

Обозначим через T остовное дерево в связном графе K . Для ребра $\sigma \in K \setminus T$ обозначим через $\hat{\sigma} = \hat{\sigma}_T$ простой цикл в K , образованный ребром σ и простым путем в T , соединяющим концы ребра σ .

Лемма 2.3.6. *Для любых остовного дерева T в связном графе K и клеточного 2-цикла C в K^2*

$$C = \hat{C} := \sum_{(\sigma, \tau) \in C \setminus \bar{T}} \hat{\sigma} \times \hat{\tau}.$$

Обозначим через $H_2(K^2)$ множество всех клеточных 2-циклов в K^2 , с операцией сложения.

Доказательство утверждения 2.3.5. П. (а) следует из леммы 2.3.6, примененной к каждой компоненте связности графа.

(б) Ввиду того, что $K^2 \setminus \bar{T} = (K \setminus T)^2$, достаточно доказать, что существует взаимно однозначное соответствие между $H_2(K^2)$ и множеством $2^{K^2 \setminus \bar{T}}$ подмножеств ребер из $K^2 \setminus \bar{T}$. Определим отображения

$$\begin{aligned} \varphi: H_2(K^2) &\rightarrow 2^{K^2 \setminus \bar{T}} \quad \text{формулой} \quad \varphi C := C \setminus \bar{T}, \\ \hat{\varphi}: 2^{K^2 \setminus \bar{T}} &\rightarrow H_2(K^2) \quad \text{формулой} \quad \hat{\varphi} D := \sum_{(\sigma, \tau) \in D} \hat{\sigma} \times \hat{\tau}. \end{aligned}$$

Поскольку $\varphi(\hat{\sigma} \times \hat{\tau}) = \{(\sigma, \tau)\}$, то $\varphi \hat{\varphi} D = D$ для любого $D \subset K^2 \setminus \bar{T}$. Обратно, для любого $C \in H_2(K^2)$ имеем $\hat{\varphi} \varphi C = \hat{C} = C$, где второе равенство есть лемма 2.3.6. Таким образом, φ и $\hat{\varphi}$ являются взаимно однозначными соответствиями. \square

Базис множества клеточных 2-циклов определяется аналогично случаю 1-циклов, см. §1.3.

Теорема 2.3.7 (Кюннет). *Для элементов C_1, \dots, C_q в $H_1(K)$ обозначим*

$$B = B(C_1, \dots, C_q) := \{C_i \times C_j : i, j \in [q]\}.$$

- (а) *Существует базис C_1, \dots, C_q в $H_1(K)$ такой, что $B(C_1, \dots, C_q)$ — базис в $H_2(K^2)$.*
- (б) *Если C_1, \dots, C_q — базис в $H_1(K)$, то $B(C_1, \dots, C_q)$ — базис в $H_2(K^2)$.*
- (г. е. $H_2(K^2) \cong H_1(K) \otimes H_1(K)$.)

Набросок доказательства. (а) В качестве базиса C_1, \dots, C_q можно взять множество всех 1-циклов $\hat{\sigma}$, где $\sigma \in K \setminus T$. Из леммы 2.3.6 следует, что B составляет систему порождающих в $H_2(K^2)$. Можно проверить, что B — базис.

(б) В следующих двух абзацах мы докажем, что каждый клеточный 2-цикл в K^2 есть сумма некоторых клеточных 2-циклов из B и что такое представление единственно, соответственно.

Каждый из простых циклов Z_1, Z_2 представляется в виде суммы некоторых 1-циклов из C_1, \dots, C_q . Поэтому каждый тор $Z_1 \times Z_2 \subset K^2$ представим в виде суммы некоторых клеточных 2-циклов из B . По утверждению 2.3.5.а то же справедливо для произвольного клеточного 2-цикла.

Единственность достаточно доказать для связного графа K . Поскольку C_1, \dots, C_q — базис в $H_1(K)$, то $2^q = |H_1(K)|$. По утверждению 1.3.5.а имеем $q = E - V + 1$. Следовательно, $|B| = q^2 = (E - V + 1)^2$. По утверждению 2.3.5.б получаем $|H_2(K^2)| = 2^{(E-V+1)^2}$. Это число равно числу линейных комбинаций клеточных 2-циклов из B . Поэтому представление единственно. \square

2.4 Двумерные циклы во взрезанном квадрате графа

Говоря нестрого (ср. §1.6), *взрезанный квадрат* графа K — множество упорядоченных пар (x, y) точек графа K таких, что x, y не принадлежат соседним ребрам. Как и квадрат графа, это множество можно представить в виде объединения прямоугольников, см. сноску 3. Строго говоря, **комбинаторным взрезанным квадратом** графа K называется

$$K^{\square} := \{(\sigma, \tau) : \sigma, \tau \text{ — несмежные ребра графа } K\}.$$

Например, произведение любых вершинно-непересекающихся циклов в K является клеточным 2-циклом в K^{\square} (по утверждению 2.3.3.а).

Замечание 2.4.1. (а) Комбинаторный взрезанный квадрат и его обобщения имеют многочисленные приложения. Например, для распознавания реализуемости гиперграфов в многомерных евклидовых пространствах, или для различения их реализаций, см. обзоры [Sk06, Sk18].

(b) Подмножество $K^2 \subset K^2$ меньше, чем K^2 , поэтому иногда его легче нарисовать. Например, $K_2^2 = K_3^2 = K_{n,1}^2 = \emptyset$.

(c) Склеим смежные клетки вдоль их «общего ребра». Тогда комбинаторные взрезанные квадраты пути на 5 вершинах, цикла на 5 вершинах, графа K_4 , графа $K_{3,3}$, и графа K_5 «выглядят как» несвязное объединение двух дисков, кольцо, кубооктаэдр без треугольных граней (рис. 13), сфера с четырьмя ручками, и сфера с шестью ручками соответственно. Действительно, для $K = K_{3,3}$ и $K = K_5$ можно доказать, что K^2 есть замкнутая связная ориентируемая двумерная поверхность (ср. утверждения 2.2.2 и 2.4.3), и применить теорему о классификации двумерных поверхностей (см. подробности в [Sa91, текст после 3.4.1]).

Из этого раздела далее используются только определение комбинаторного взрезанного квадрата и лемма 2.4.5.b.

Задача 2.4.2. Любой клеточный 2-цикл в K^2 пуст для

(а) простого цикла K ; (b) $K = K_{n,2}$; (c) $K = K_4$;

(d) колеса K , т. е. для графа с множеством $\{0\} \cup [n]$ вершин, и ребрами $\{n, 1\}$, $\{0, j\}$ и $\{j, j+1\}$ для $j \in [n-1]$.

Набросок доказательства п. (a-c). Пусть C — клеточный 2-цикл в K^2 . Для любого ребра σ графа K сечение $C_{\sigma, \cdot}$ является подмножеством

(а) графа-пути $K - \sigma$;

(b) графа $K_{n,1} \cong K - v$ для некоторой вершины $v \in \sigma$;

(c) множества $\{\tau\}$, где τ — единственное несмежное ребро с σ .

Следовательно, $C_{\sigma, \cdot}$ — подмножество дерева. Тогда по утверждению 1.3.5.b $C_{\sigma, \cdot} = \emptyset$. Тогда $C = \emptyset$.

Набросок доказательства п. (d). Пусть C — клеточный 2-цикл в K^2 .

Так как и $C_{0j, \cdot}$, и $C_{\cdot, 0j}$ — подмножества графа-пути $K - 0 - j$ для любого $j \in [n]$, то $C_{0j, \cdot} = C_{\cdot, 0j} = \emptyset$ для любого $j \in [n]$. Тогда $C \subset (K - 0)^2$ для графа-цикла $K - 0$, что сводит доказательство к п. (a).

(Это решение обобщает п. (c), так как K_4 является колесом при $n = 3$.) \square

Утверждение 2.4.3. (a) Подмножество $K_{3,3}^2$ в $K_{3,3}^2$ является клеточным 2-циклом.

(b) Подмножество K_5^2 в K_5^2 является клеточным 2-циклом.

Доказательство. Положим $C := K_{3,3}^2$ ($C := K_5^2$). Для произвольного ребра σ графа $K_{3,3}$ (K_5) каждое из множеств $C_{\sigma, \cdot}$ и $C_{\cdot, \sigma}$ есть цикл длины 4 (длины 3). \square

Задача 2.4.4. (а) В $K_{3,3}^2$ имеется ровно один непустой клеточный 2-цикл.

(b) В K_5^2 имеется ровно один непустой клеточный 2-цикл.

Набросок доказательства п. (a). (Ср. с определением гранесвязности перед утверждением 2.2.2.) Пусть C — непустой клеточный 2-цикл в $K_{3,3}^2$. Тогда найдется пара несмежных ребер σ, τ такая, что $(\sigma, \tau) \in C$. Следовательно, $\tau \in C_{\sigma, \cdot}$. Выберем произвольную $(\alpha, \beta) \in K_{3,3}^2$. Для любых двух ребер σ, α в $K_{3,3}$ существует ребро γ , такое что γ не смежно ни с σ , ни с α . Любое сечение клеточного 2-цикла C либо пусто, либо является циклом длины 4. Так как сечение $C_{\sigma, \cdot}$ непусто, то $\gamma \in C_{\sigma, \cdot}$, а потому $(\sigma, \gamma) \in C$. Так как сечение $C_{\cdot, \gamma}$ непусто, то $\alpha \in C_{\cdot, \gamma}$, а потому $(\alpha, \gamma) \in C$. Так как сечение $C_{\alpha, \cdot}$ непусто, то $\beta \in C_{\alpha, \cdot}$, а потому $(\alpha, \beta) \in C$. \square

Представления клеточного 2-цикла $K_{3,3}^2 \subset K_{3,3}^2$ ($K_5^2 \subset K_5^2$) в виде суммы нескольких торов в $K_{3,3}^2$ (в K_5^2) можно получить из утверждения 2.3.5.a. Поскольку в графе $K_{3,3}$ (K_5) нет двух непустых

вершинно-непересекающихся циклов, то этот клеточный 2-цикл не является суммой произведений вершинно-непересекающихся циклов.

Граф \widetilde{K}_n определен перед леммой 1.3.10.

Лемма 2.4.5. (a) Существует взаимно однозначное соответствие между $K_{n,n}^2$ и \widetilde{K}_n^2 , сохраняющее смежность клеток.

(b) Существует взаимно однозначное соответствие $H_2(K_{n,n}^2) \rightarrow H_2(\widetilde{K}_n^2)$.

Набросок доказательства. (a) Определим отображение $f: K_{n,n}^2 \rightarrow K_{n,n}^2$ формулой

$$f(\sigma_1\sigma_2', \tau_1\tau_2') := (\sigma_1\tau_1', \sigma_2\tau_2').$$

(Напомним, что для $a, b \in [n]$ через ab мы обозначаем ребро, соединяющее вершины a и b .) Оно является взаимно однозначным соответствием, так как $f^2 = \text{id}$. Докажем в следующем абзаце, что f сохраняет смежность клеток.

Рассмотрим пару смежных клеток (σ, α) и (τ, β) . По условию смежности они имеют общее ребро. Без ограничения общности, будем считать, что $\alpha = \beta$. По условию смежности ребра σ и τ имеют общую вершину. Обозначим через σ_1, σ_2 и τ_1, τ_2 концы ребер σ и τ соответственно. Тогда либо $\sigma_1 = \tau_1$, либо $\sigma_2 = \tau_2$. В обоих случаях клетки $f(\sigma, \alpha)$ и $f(\tau, \beta)$ смежны.

Следующие условия эквивалентны для ребер $\sigma, \tau \in K_{n,n}$:

- $(\sigma, \tau) \in K_{n,n}^2$;
- σ и τ несмежны;
- $\sigma_1 \neq \tau_1$ и $\sigma_2 \neq \tau_2$;
- $f(\sigma, \tau) \in \widetilde{K}_n^2$.

Тогда сужение отображения f на $K_{n,n}^2$ является взаимно однозначным соответствием между $K_{n,n}^2$ и \widetilde{K}_n^2 .

(b) Взаимно однозначное соответствие g из п. (a) переводит клеточные 2-циклы в клеточные 2-циклы, поскольку сохраняет смежность. Тогда оно индуцирует отображение $\widehat{g}: H_2(K_{n,n}^2) \rightarrow H_2(\widetilde{K}_n^2)$. Отображение \widehat{g} является взаимно однозначным соответствием, поскольку g является таковым. \square

Замечание 2.4.6. (a) Пусть дан набор квадратов с ориентированными сторонами. По разбиению этих сторон на пары построим поверхность склейкой сторон в каждой паре. Будем говорить, что два квадрата *смежны при разбиении*, если какие-то их стороны принадлежат одной паре. Оказывается, что имеются два таких набора из одинакового числа квадратов и два их разбиения, при которых

- построенные по этим разбиениям поверхности «различны» (т.е. не гомеоморфны), но
- квадраты *одинаково смежны* (т.е. можно так занумеровать квадраты первого набора и квадраты второго набора, что квадраты k и l в одном наборе смежны тогда и только тогда, когда квадраты k и l в другом наборе смежны).

(b) Такие разбиения строятся, например, при помощи леммы 2.4.5.a. По ней «тела» клеточных 2-циклов $K_{n,n}^2$ и \widetilde{K}_n^2 (ср. замечание 1.6.4.a) получены склейкой одинакового числа одинаково смежных квадратов. (Эти тела получены из $K_{n,n}^{\square 2}$ и $\widetilde{K}_n^{\square 2}$ «заклейкой» каждой границы квадратом.) В следующих двух абзацах мы объясним, почему эти тела различны для $n = 3$.

Геометрически, тела клеточных 2-циклов \widetilde{K}_3^2 и $K_{3,3}^2$ являются тором и сферой с четырьмя ручками соответственно (см. замечание 2.4.1.c).

Обосновать предыдущее предложение не так просто, но эти тела можно различить алгебраически. Достаточно посмотреть на инвариант тел — количество 1-циклов по модулю границ в $\widetilde{K}_3^{\square 2}$

и в $K_{3,3}^{\square 2}$. В $\widetilde{K}_3^{\square 2}$ четыре 1-цикла по модулю границ (воспользуйтесь теоремой Кюннета 1.7.7.b), в $K_{3,3}^{\square 2}$ их 256 (см. ответ на задачу 1.9.2.e').

(с) По лемме 2.4.5.b и утверждению 2.3.5.b в $K_{n,n}^2$ ровно $2^{(n^2-3n+1)^2}$ клеточных 2-циклов. (Ср. с утверждением 2.5.7.c и загадкой 2.5.9.d.)

2.5 Симметричные двумерные циклы в квадрате графа *

Рассмотрим симметрию (инволюцию) на K^2 , переставляющую компоненты (т. е. переставляющую точки (x, y) и (y, x)), и соответствующее отображение на клеточных 2-циклах.

Утверждение 2.5.1. (а) Для любых простых циклов Q, R в K симметризованный тор $Q \times R + R \times Q$ является симметричным клеточным 2-циклом.

(б) Сумма по модулю 2 симметричных клеточных 2-циклов является симметричным клеточным 2-циклом.

(с) Существует граф и симметричный клеточный 2-цикл в квадрате этого графа, не являющийся суммой нескольких симметризованных торов.

Набросок доказательства. (а) Симметризованный тор является клеточным 2-циклом как сумма двух клеточных 2-циклов (см. утверждения 2.3.2 и 2.3.3). Причем он симметричен, поскольку указанная сумма симметрична.

(с) Неформально говоря, следующий пример основан на том, что в симметризованном торе клетки вида (σ, σ) сокращаются.

Пример: граф K_3 и клеточный 2-цикл K_3^2 .

Доказательство. Для любого ребра $\sigma \in K_3$ имеем $(\sigma, \sigma) \in K_3^2$. Обозначим через C произвольную сумму нескольких симметризованных торов в K^2 . Для любого ребра $\sigma \in K$ имеем $(\sigma, \sigma) \notin C$. Поэтому K_3^2 не является суммой симметризованных торов. \square

Утверждение 2.5.2 (ср. утверждение 2.3.5). (а) Любой симметричный клеточный 2-цикл в квадрате графа является суммой нескольких симметризованных торов и квадратов простых циклов.

(б) Для связного графа K с V вершинами и E ребрами обозначим $q = E - V + 1$. Тогда количество симметричных клеточных 2-циклов в K^2 равно $2^{q(q+1)/2}$.

Лемма 2.5.3. Для любых остовного дерева T в связном графе K и симметричного клеточного 2-цикла C в K^2

$$C = \sum_{\substack{\{\sigma, \tau\} \\ (\sigma, \tau) \in C \setminus \overline{T} \\ \sigma \neq \tau}} (\widehat{\sigma} \times \widehat{\tau} + \widehat{\tau} \times \widehat{\sigma}) + \sum_{\substack{\sigma \\ (\sigma, \sigma) \in C \setminus \overline{T}}} \widehat{\sigma} \times \widehat{\sigma},$$

где $\widehat{\sigma}$ определено после утверждений 1.3.5 и 2.3.5.

Лемма 2.5.3 следует из леммы 2.3.6, симметричности клеточного 2-цикла C и симметричности множества \overline{T} .

Набросок доказательства утверждения 2.5.2. П. (а) следует из леммы 2.5.3, примененной к каждой компоненте связности графа.

(б) Возьмем взаимно однозначное соответствие из доказательства утверждения 2.3.5.b. Ввиду леммы 2.5.3 при этом соответствии симметричные клеточные 2-циклы в K^2 переходят в симметричные наборы клеток вне \overline{T} . Симметричные наборы клеток вне \overline{T} разбиваются на q одноэлементных наборов и $\binom{q}{2}$ пар взаимно симметричных клеток. Таким образом, количество симметричных наборов клеток вне \overline{T} равно $2^{q + \binom{q}{2}}$. (Ср. с доказательством утверждения 1.5.3.) \square

Утверждение 2.5.4. Для элементов C_1, \dots, C_q в $H_1(K)$ обозначим

$$B' = B'(C_1, \dots, C_q) := \{C_i \times C_j + C_j \times C_i, C_i \times C_i : i \neq j, i, j \in [q]\}.$$

(a) Существует базис C_1, \dots, C_q в $H_1(K)$ такой, что $B'(C_1, \dots, C_q)$ — базис в множестве симметричных клеточных 2-циклов в K^2 .

(b) Если C_1, \dots, C_q — базис в $H_1(K)$, то $B'(C_1, \dots, C_q)$ — базис в множестве симметричных клеточных 2-циклов в K^2 .

Набросок доказательства. (a) В качестве базиса C_1, \dots, C_q можно взять множество всех 1-циклов $\hat{\sigma}$, где $\sigma \in K \setminus T$. Из леммы 2.5.3 следует, что B' составляет систему порождающих в множестве симметричных клеточных 2-циклов. Можно проверить, что B' — базис.

(b) Обозначим через B базис в $H_2(K^2)$, полученный из теоремы Кюннета 2.3.7.b по базису C_1, \dots, C_q . Возьмем симметричный клеточный 2-цикл C и рассмотрим его представление в виде суммы некоторых элементов из B . Клеточный 2-цикл C симметричный. Поэтому если $C_i \times C_j$ встречается в этом представлении, то в нем встречается и $C_j \times C_i$. Значит, C представим в виде суммы некоторых клеточных 2-циклов из B' .

Единственность представления в виде суммы некоторых элементов из B' следует из единственности представления в виде суммы некоторых элементов из B . \square

Задача 2.5.5. Любой симметричный клеточный 2-цикл, содержащийся в K^2 , является суммой нескольких симметризованных торов (лежащих в $K^2 \supset K^{\mathbb{Z}}$).

Доказательство. Поскольку $K^{\mathbb{Z}} \subset K^2$, то по лемме 2.5.3 любой симметричный клеточный 2-цикл в K^2 является суммой нескольких симметризованных торов и нескольких квадратов простых циклов. Так как в K^2 нет клеток (σ, σ) ни для какого $\sigma \in K$, то в указанной сумме имеются только симметризованные торы. \square

Симметрия $t: \widetilde{K}_n \rightarrow \widetilde{K}_n$ определена перед леммой 1.5.1, и симметрия $(t \times t): \widetilde{K}_n^2 \rightarrow \widetilde{K}_n^2$ такова, что $(t \times t)(x, y) := (tx, ty)$.

Утверждение 2.5.6. (a) Взаимно однозначное соответствие из леммы 2.4.5.b отображает клеточные 2-циклы в $K_{n,n}^{\mathbb{Z}}$, переставляемые симметрией, в клеточные 2-циклы в \widetilde{K}_n^2 , переставляемые симметрией $(t \times t)$.

(b) Существует взаимно однозначное соответствие между симметричными клеточными 2-циклами $K_{n,n}^{\mathbb{Z}}$ и $(t \times t)$ -симметричными клеточными 2-циклами в \widetilde{K}_n^2 .

Доказательство. (a) Обозначим симметрию на K^2 через s , а взаимно однозначное соответствие из леммы 2.4.5.b через f . Достаточно доказать, что для любой клетки $\alpha \in K_{n,n}^{\mathbb{Z}}$ выполнено $f(s\alpha) = (t \times t)f(\alpha)$. Это верно, поскольку

$$f(s(\sigma_1\sigma'_2, \tau_1\tau'_2)) = f(\tau_1\tau'_2, \sigma_1\sigma'_2) = (\tau_1\sigma'_1, \tau_2\sigma'_2) = (t \times t)(\sigma_1\tau'_1, \sigma_2\tau'_2) = (t \times t)f(\sigma_1\sigma'_2, \tau_1\tau'_2).$$

п. (b) следует из п. (a) и леммы 2.4.5.b. \square

$(t \times t)$ -симметризованным тором для 1-циклов Q и R в \widetilde{K}_n называется клеточный 2-цикл $Q \times R + tQ \times tR$ в \widetilde{K}_n^2 .

Лемма 2.5.7. (a) Любой $(t \times t)$ -симметричный клеточный 2-цикл в \widetilde{K}_n^2 является суммой нескольких из следующих:

- $(t \times t)$ -симметризованные торы $Q \times R + tQ \times tR$ для циклов Q и R длины 4 в \widetilde{K}_n ;

• \widetilde{K}_3^2 .

(b) Количество $(t \times t)$ -симметричных клеточных 2-циклов в \widetilde{K}_n^2 равно $2^{\binom{q+2}{2}}$, где $q = \frac{n^2-3n}{2}$.

(c) Количества симметричных клеточных 2-циклов в $K_{n,n}^2$ и $(t \times t)$ -симметричных клеточных 2-циклов в \widetilde{K}_n^2 совпадают.

Набросок доказательства. П. (c) следует из п. (b) и утверждения 2.5.6.b.

(a) Для $n < 4$ доказательство тривиально. Возьмем $(t \times t)$ -симметричный клеточный 2-цикл C . По теореме Кюннета 2.3.7.a он равен некоторой сумме произведений, $C = C_1 \times D_1 + \dots + C_k \times D_k$. По лемме 1.5.2.a разложим 1-циклы C_i и D_i для любого $i \in [k]$ в суммы нескольких из следующих 1-циклов: \widetilde{K}_3 и $Q+tQ$ для некоторых циклов Q длины 4. Получим, что C является суммой некоторых из следующих 2-циклов:

$$(Q+tQ) \times (P+tP), \quad \widetilde{K}_3 \times (P+tP), \quad (Q+tQ) \times \widetilde{K}_3 \quad \text{и} \quad \widetilde{K}_3^2$$

для некоторых циклов Q, P длины 4. Докажем, что первые три из этих клеточных 2-циклов представимы в виде суммы $(t \times t)$ -симметризованных торов.

Первый: $(Q+tQ) \times (P+tP) = (Q \times P + tQ \times tP) + (tQ \times P + Q \times tP)$.

Второй:

$$\widetilde{K}_3 \times (P+tP) = \widetilde{K}_3 \times P + t\widetilde{K}_3 \times tP = (A_1 + A_2 + A_3) \times P + (tA_1 + tA_2 + tA_3) \times tP = \sum_{i=1}^3 (A_i \times P + tA_i \times tP),$$

где \widetilde{K}_3 представлен в виде суммы трех циклов A_i , $i \in [3]$ длины 4, рис. 3.

Третий преобразуется аналогично второму.

(b) Возьмем t -симметричный базис в $H_1(\widetilde{K}_n)$ из леммы 1.5.2.b. Обозначим его через B . По теореме Кюннета 2.3.7.b следующие клеточные 2-циклы составляют базис в $H_2(\widetilde{K}_n^2)$:

$$Q \times P, \quad \widetilde{K}_3 \times P, \quad Q \times \widetilde{K}_3 \quad \text{и} \quad \widetilde{K}_3^2,$$

где Q, P — всевозможные элементы базиса B , не равные \widetilde{K}_3 . Поскольку B является t -симметричным, то полученный базис в $H_2(\widetilde{K}_n^2)$ является $(t \times t)$ -симметричным. Значит, следующие клеточные 2-циклы составляют базис множества всех $(t \times t)$ -симметричных клеточных 2-циклов в \widetilde{K}_n^2 :

$$Q \times P + tQ \times tP, \quad \widetilde{K}_3 \times (P+tP), \quad (Q+tQ) \times \widetilde{K}_3 \quad \text{и} \quad \widetilde{K}_3^2.$$

Всего элементов в этом базисе ровно $\binom{q+2}{2}$. Поэтому количество $(t \times t)$ -симметричных клеточных 2-циклов в \widetilde{K}_n^2 равно $2^{\binom{q+2}{2}}$. \square

Теорема 2.5.8. (a) Любой симметричный клеточный 2-цикл в $K_{n,n}^2$ является суммой нескольких из следующих:

- симметризованные торы $Q \times R + R \times Q$ для вершинно-непересекающихся циклов Q, R длины 4 в $K_{n,n}$;

- комбинаторный взрезанный квадрат $K_{3,3}^2$ подграфа $K_{3,3}$, графа $K_{n,n}$.

(b) Любой клеточный 2-цикл в K^2 является суммой нескольких произведений вершинно-непересекающихся циклов, и нескольких комбинаторных взрезанных квадратов подграфов, гомеоморфных графу K_5 или $K_{3,3}$.

Набросок доказательства п. (а). Возьмем взаимно однозначное соответствие из утверждения 2.5.6.b. По лемме 2.5.7.a, так как $(t \times t)$ -симметризованные торы и \widetilde{K}_3^2 порождают все $(t \times t)$ -симметричные клеточные 2-циклы в \widetilde{K}_n^2 , то их прообразы порождают все симметричные клеточные 2-циклы в $K_{n,n}^2$. Осталось проверить, что

- прообразом $(t \times t)$ -симметризованного тора для циклов длины 4, является симметризованный тор T для циклов длины 4 (последние циклы вершинно-непересекающиеся, так как T лежит в K^2);
- прообразом тора \widetilde{K}_3^2 является $K_{3,3}^2$ (ср. замечание 2.4.6.ab). \square

Теорема 2.5.8.a есть частный случай результата из [SS23]. Доказательство теоремы 2.5.8.b можно найти в [Sa91] и [SS23].

Задача 2.5.9. * (а) Следующее утверждение [Sa91, 3.4.2] неверно, даже для связных графов: существует клеточный 2-цикл C в K^2 такой, что любой клеточный 2-цикл в K^2 является суммой нескольких из следующих клеточных 2-циклов: C и произведения вершинно-непересекающихся циклов.

(b) (нерешенная задача) Верно ли утверждение из п. (а) для 3-связных графов?

(c) (нерешенная задача) Верен ли аналог теоремы 2.5.8.a с заменой графа $K_{n,n}$ на граф K_n и подграфа $K_{3,3}$ графа $K_{n,n}$ на подграф (гомеоморфный) K_5 графа K_n ?

(d) (загадка) Сколько имеется клеточных 2-циклов в K^2 для связного графа K с V вершинами и E ребрами (используйте дополнительные данные о графе, если нужно)?

Подсказки. (а) Возьмите дизъюнктное объединение двух копий графа K_5 . Сделайте это объединение связным, соединив две копии ребром.

Список литературы

- [ABM+] * Э. Алкин, Е. Бордачева, А. Мирошников, А. Скопенков, Инварианты почти вложений графов в плоскость, arXiv:2410.09860.
- [ADN+] * E. Alkin, S. Dzhenzher, O. Nikitenko, A. Skopenkov, A. Voropaev. Cycles in graphs and in hypergraphs: results and problems, arXiv:2308.05175.
- [Bi83] * R. H. Bing. The Geometric Topology of 3-Manifolds. Providence, R. I. 1983. (Amer. Math. Soc. Colloq. Publ., 40).
- [Bo] E. Bordacheva. Symmetric 1-cycles in the deleted product of graph, <https://drive.google.com/file/d/1Qc0X8ghMqxwgP79ItskULjBF5Yu9vnR9/view?pli=1>.
- [CPG] https://ru.wikipedia.org/wiki/Прямое_произведение_графов
- [FF89] * А. Т. Фоменко и Д. Б. Фукс. Курс гомотопической топологии. М.: Наука, 1989.
- [Fl] https://en.wikipedia.org/wiki/Flow_network
- [FH10] M. Farber, E. Hanbury. Topology of Configuration Space of Two Particles on a Graph, II. Algebr. Geom. Topol. 10 (2010) 2203–2227. arXiv:1005.2300.
- [GDI] * А.А. Глибичук, А.Б. Дайняк, Д.Г. Ильинский, А.Б. Кунавский, А.М. Райгородский, А.Б. Скопенков, А.А. Чернов, Элементы дискретной математики в задачах, М, МЦНМО, 2016. <http://www.mccme.ru/circles/oim/discrbook.pdf>
- [Ha74] * P. Halmos, How to talk mathematics. Notices of the Amer. Math. Soc., 21 (1974) 155–158.

- [HC19] * *C. Herbert Clemens*. Two-Dimensional Geometries. A Problem-Solving Approach, Amer. Math. Soc., 2019.
- [MS17] *T. Maciazek, A. Sawicki*. Homology groups for particles on one-connected graphs J. Math. Phys. 58, 062103 (2017). arXiv:1606.03414.
- [Sa91] *K. S. Sarkaria*. A one-dimensional Whitney trick and Kuratowski's graph planarity criterion, Israel J. Math. 73 (1991), 79–89. <http://kssarkaria.org/docs/One-dimensional.pdf>.
- [Sh89] * *Ю. А. Шапкин*, Неподвижные точки, М., Наука, 1989.
- [Sk06] * *A. Skopenkov*, Embedding and knotting of manifolds in Euclidean spaces, London Math. Soc. Lect. Notes, 347 (2008) 248–342. arXiv:math/0604045.
- [Sk18] * *A. Скопенков*, Инварианты изображений графов на плоскости, Мат. просвещение, 31 (2023), 74-127. arXiv:1805.10237.
- [Sk20] * *A. Скопенков*, Алгебраическая топология с геометрической точки зрения, Москва, МЦНМО, 2020 (2е издание). Часть книги: <http://www.mccme.ru/circles/oim/obstruct.pdf>
- [Sk] * *A. Скопенков*. Алгебраическая топология с алгоритмической точки зрения, <http://www.mccme.ru/circles/oim/algor.pdf>.
- [SS23] *A. Skopenkov and O. Styrzbech*, Embeddability of join powers and minimal rank of partial matrices, arXiv:2305.06339.
- [Va92] * *V. A. Vassiliev*. Complements of discriminants of smooth maps: Topology and applications, Amer. Math. Soc., Providence, RI, 1992 (рус. перевод: В. А. Васильев, Топология дополнений к дискриминантам, Фазис, Москва, 1997).
- [ZSS] * Элементы математики в задачах: через олимпиады и кружки к профессии. Сборник под редакцией А. Заславского, А. Скопенкова и М. Скопенкова. М.: МЦНМО, 2018. <http://www.mccme.ru/circles/oim/materials/sturm.pdf>.